УСПЕХИ ФИЗИЧЕСКИХ НАУК

621.375.9

ОПТИЧЕСКИЕ КВАНТОВЫЕ ГЕНЕРАТОРЫ НА СО2

Н. Н. Соболев, В. В. Соковиков

СОДЕРЖАНИЕ

ş	1.	Введение	425
Š	2.	Конструкции трубок и резонаторов Фабри — Перо	426
Ş		Основные экспериментальные результаты	428
Š	4.	Спектральный состав излучения непрерывно действующего ОКГ	431
š	5.	Импульсный ОКГ большой мощности	434
ŝ		ОКГ в комбинации с техникой модулированной добротности	434
ŝ		Основные данные о молекуле СО2. Селективное возбуждение верхнего	10 1
ð	• •	лазерного уровня СО2 колебательно-возбужденным азотом	435
ş	Q	Непосредственное электронное возбуждение колебательных уровней.	100
3	υ.	Заселение верхнего лазерного уровня $OR\Gamma$ на CO_2 , $CO_2 + N_2$, $CO_2 + N_2 +$	
			437
ş	a	+ He, CO ₂ + He	441
8	σ.		
		а) Релаксация нижнего лазерного уровня	441
		б) Влияние Н ₂ О на скорость релаксации нижнего лазерного уровня .	443
		в) Определение разности заселенностей лазерных уровней ОКГ на	445
		${ m CO_2 + N_2 + H_2O}$	
		г) Процессы, ограничивающие мощность излучения	446
		д) Релаксация лазерной системы	447
ş	10.	Некоторые применения ОКГ на CO ₂	450
		Заключение.	451
Ц	итиј	оованная литература	452

§ 1. ВВЕДЕНИЕ

Настоящий обзор посвящен оптическим квантовым генераторам $(OK\Gamma)$ на CO_2 — одному из наиболее перспективных типов газовых $OK\Gamma$.

Первый газовый ОКГ был реализован Джаваном, Беннетом и Хэрриотом в 1961 г. ¹. Это был непрерывно действующий ОКГ на смеси Ne — Не. Конструкция и принцип действия первых ОКГ описаны в популярных статьях Шавлова ². К моменту написания Беннетом первого обзора по газовым ОКГ (декабрь 1962 года)³, генерация в непрерывном режиме была получена на сорока различных переходах в области от 0,63 до 12 мк, причем использовались уже десять различных газовых систем и четыре механизма возбуждения. Период с 1963 по 1965 г. характеризовался новыми существенными достижениями. Были открыты ионные и молскулярные ОКГ. Область спектра, в которой получена генерация, была расширена как в сторону более коротких длин волн (0,27 мк), так и в сторону длинных волн (120 мк). Итог исследований по газовым ОКГ за этот период содержится во втором обзоре Беннета ⁴.

Генерация на ряде линий двух колебательно-вращательных полос молекулы CO₂ в области 10 мк была открыта в 1964 г. ⁵. Мощность генерации составляла 1 мвт. Почти одновременно аналогичные результаты были получены в работах ⁶. В 1965 г. на конференции по квантовой элекгронике в Пуэрто-Рико Пател сообщил о достижении мощности порядка

10~em, причем вся мощность была сосредоточена в двух колебательно вращательных линиях. Увеличение мощности на три порядка было достиг нуто за счет добавления к CO_2 азота, проведения эксперимента при протоке рабочей смеси 7,8 и замены высокочастотного питания газового разряда на питание постоянным током. После этой конференции большое число исследователей сосредоточило свои усилия на изучении именно этого типа оптического квантового генератора (ОКГ) ввиду его большой мощности и большого к. п. д. В самом деле, если наиболее распространенный тип непрерывно действующего газового ОКГ, неон-гелиевый, может быть охарактеризован значениями к. п. д. порядка $10^{-5}-10^{-4}$ и мощности 10-20~mem, аргоновые ионные $0\mathrm{K}\Gamma-3$ значениями $10^{-3}-10^{-2}$ и 2-5~em, соответственно, то к. п. д. $0\mathrm{K}\Gamma$ на CO_2 достигают значений 10^{-1} при мощности порядка сотен ватт.

Такие значительные успехи в развитии ОКГ на CO_2 достигнуты при: а) добавлении значительных количеств Не к смеси CO_2 — N_2 ^{9, 10} или к чистому CO_2 ⁹; б) добавлении паров воды ¹¹ и в) охлаждении газоразрядной трубки ^{10, 12}. Существенную роль сыграли также исследования по выбору оптимальных вариантов конструкций трубок, резонаторов Фабри — Перо, парциальных давлений и скоростей протока смеси.

Настоящий обзор охватывает работы, опубликованные до 1 ноября 1966 г., с учетом результатов исследований, доложенных на IV Между народной конференции по квантовой электронике (г. Феникс, Аризона. США) ¹³⁻¹⁸.

§ 2. КОНСТРУКЦИИ ТРУБОК И РЕЗОНАТОРОВ ФАБРИ — ПЕРО

Мощности генерации порядка 10-20~em были впервые получены Пателом на установке, представленной на рис. 1 ⁷. Существенной особенностью установки было возбуждение проточного азота в разряде постоянного тока, который затем смешивался с проточным CO_2 в объеме.

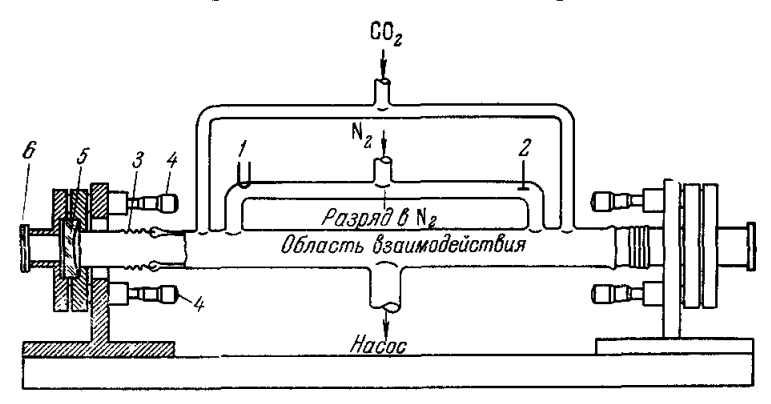


Рис. 1. Установка для получения генерации на ${
m CO_2-N_2}$ с раздельным возбуждением ${
m N_2}.$

Детали: 1 — катод, 2 — анод, 3 — сильфон, 4 — юстировочные винты внутреннего зеркала, 5 — зеркало, 6 — окно из NaCl.

свободном от электрического поля. Смесь $\mathrm{CO}_2-\mathrm{N}_2$ непрерывно отка чивалась форвакуумным насосом со скоростью 6 $\mathit{m/ce\kappa}$. Согласно интерпретации Патела (см. также 6), в области взаимодействия N_2 и CO_2 осу ществляется резонансная передача энергии молекулам CO_2 от колебательно-возбужденных молекул N_2 , благодаря чему и возникает инверс ная заселенность лазерных уровней (см. § 7).

Доклады, представленные на конференции в Фениксе, показали, что в настоящее время исследователи отказались от разделенной системы возбуждения. Применяются только системы, в которых смесь $\mathrm{CO}_2 - \mathrm{N}_2$ поступает непосредственно в газоразрядную трубку. Однако следует

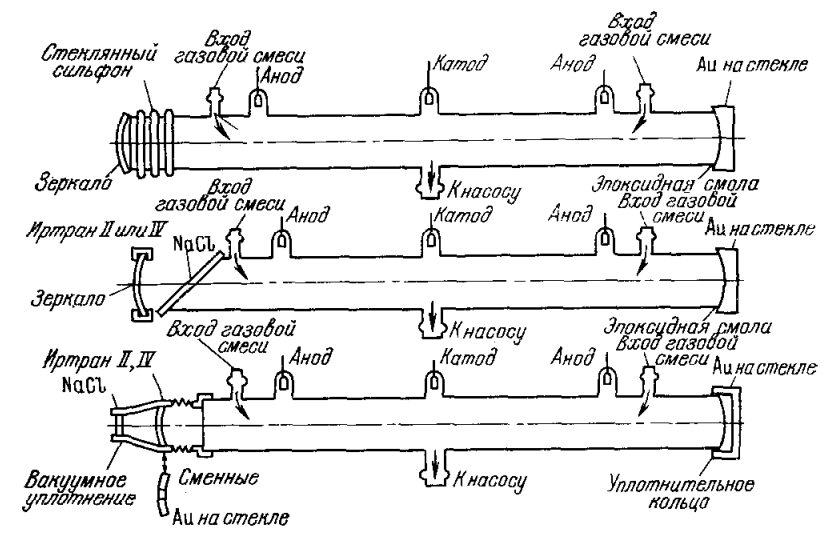


Рис. 2. Газоразрядные трубки, применяемые в ОКГ средней мощности

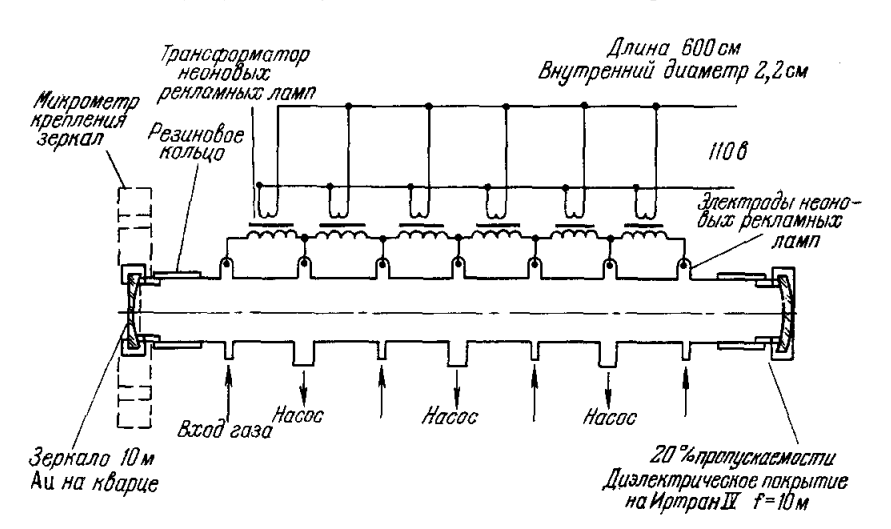


Рис. 3. Газоразрядная трубка, при использовании которой достигается мощность более 100 вт.

иметь в виду, что конструкция ОКГ с разделенным возбуждением N_2 может оказаться полезной для ряда физических исследований, в частности, при выяснении роли откачки.

Конструкции современных ОКГ на CO_2 представлены на рис. 2 и 3^{13} . Длины газоразрядных трубок ОКГ варьируются в пределах от 1 до 6 м, диаметры — от 22 до 75 мм. Дальнейшему увеличению диаметров трубок препятствует контрагирование столба газового разряда, которое наступает для смеси N_2 — CO_2 при диаметрах, больших 40 мм, а на смесях N_2 — CO_2 — Не при диаметрах, больших 70 мм. Питание

разряда осуществляется как постоянным током, так и обычным переменным и высокочастотным. При питании постоянным током в диапазоне от десятков до сотен миллиампер необходимы источники питания с напряжением до 15 кв. Применяются как холодные катоды, так и подогревные.

На рис. 2 показаны конструкции трубок, применяемых для получения сравнительно малых мощностей генерации, на рис. 3 — трубка для получения мощностей когерентного излучения, больших 100 em ¹³. На рис. 2 видно, что применяются как внутренние, так и внешние зеркала. В последнем случае выход излучения осуществляется через окно из NaCl, установленное под углом Брюстера. В качестве окон, прозрачных в области 9—11 мк, можно применять не только NaCl, но также и KCl, Ge и Si; последние должны обладать только собственной проводимостью.

Для резонатора Фабри — Перо можно применять зеркала как металлические (Au, Al), так и диэлектрические, напыленные на стекло или кварц. Крепление зеркал осуществляется эпоксидной смолой. Развязка мощности из ОКГ производится в случае непрозрачных для инфракрасного излучения подложек через центральное круглое отверстие в зеркале или через отверстия других конфигураций. Для вывода мощности широко применяются зеркала из Иртран-II и Иртран-IV. Эти материалы представляют собой прессованные поликристаллические ZnS и BaS.

Трубка мощного $OK\Gamma$ на CO_2 , представленная на рис. 3, имеет длину 6 м и диаметр 22 мм. Питание осуществляется переменным током. Трубка секционирована, так что могут работать отдельные метровые отсеки. Одно зеркало золотое на кварцевой подложке (f=10 м), второе, выходное, с диэлектрическим покрытием на Иртран-IV, с пропускаемостью 20%.

Существенным достижением последнего времени является получение мощной генерации на полосах ${\rm CO_2}$ не только в проточных системах, но и в отпаянных, причем, согласно ¹², срок службы таких трубок может доходить до 100 и более часов.

§ 3. ОСНОВЦЫЕ ЭКСПЕРИМЕНТАЛЬНЫЕ РЕЗУЛЬТАТЫ

Типичные результаты исследования мощности $\mathrm{OK}\Gamma$ на CO_2 при использовании различных смесей приведены в табл. I и на рис. 4 9, 13. Длина трубки 96 см., диаметр 21 см., одно зеркало непрозрачное, золотое; второе, с 12% пропускаемостью, изготовлено из Иртран-II. Фокусное расстояние зеркал — 6 м. Результаты изучения проточной системы приведены в табл. І. Из таблины видно, что смеси CO_2 — Не и CO_2 — N_2 дают сопоставимые мощности (5,25 и 4,5 вм). Применение трехкомпонентной смеси увеличивает мощность генерации почти в четыре раза (до 18 вм). В отпаянной системе при работе с той же самой трубкой на чистом СО2 и CO_2-N_2 (см. рис. 2) оптимальные мощности генерации сравнимы ($\sim 2~sm$). С ростом тока в смеси CO_2-N_2 мощность генерации спадает быстрее, чем в чистом CO_2 . Добавление Не к смеси $CO_2 - \tilde{N_2}$ в отпаянной системе приводит к увеличению мощности до 19 вт, т. е. почти на порядок. Аналогичные результаты для ОКГ, работающего на чистом СО2, были получены при работе с отпаянной трубкой длиной 1 м, диаметром 10,5 мм при напряжении 7—10 кв и токах 5—10 ма 12. Как видно из рис. 5, при оптимальном давлении 5,4 тор была получена мощность до 1,2 вт.

Влияние добавления азота к CO_2 иллюстрирует рис. 6 12 . Видно, что оптимальное соотношение давлений CO_2 и N_2 близко к 1:2. Еще бо́льшие мощности (до $20\ em$) были получены Фрапардом на чистом CO_2

при работе с отпанными трубками, в которых были ранее достигнуты мощности $50~\it{sm}$ на смеси ${\rm CO_2-N_2}^{15}$.

Охлаждение отпаянной газоразрядной трубки до -60° С привело к повышению к. п. д. и мощности генерации вдвое как в ОКГ на чистом CO_2 , так и на смеси $CO_2 - N_2$ Таблица I

(рис. 7) 12.

Виттеман ^{11,1}, изучил влияние паров воды на мощность генерации смеси

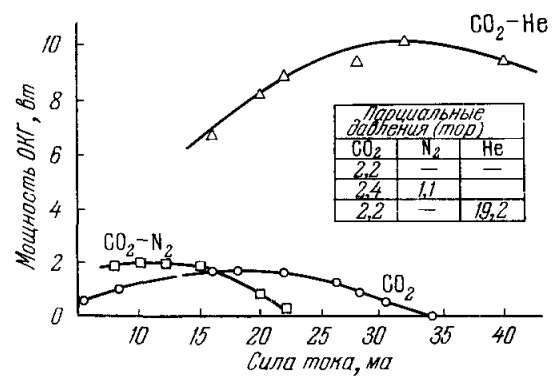


Рис. 4. Зависимость мощности от тока в ОКГ со статической газовой системой при различных составах смеси.

Мощность и к. п. д. оптического квантового геператора на ${
m CO_2}$ при различных парциальных давлениях газов

Пар	циальн ние, т	Мощ- ность ОКГ, em	К и.д.						
$\mathrm{CO_2}$	lle	N_2							
0,6	_	3,6	4,5	2.9					
1,3	11,5	(0,004) *)	5,25	1,5					
2,7	7,8	3,5	18,0	4					
1	-	(0,003) *)	0,41						
*) Неконтролируемая при- месь азота.									

 ${
m CO}_2 = {
m N}_2$. Схема его экспериментальной установки приведена на рис. $8^{\,11}$. Интересным методическим усовершенствованием является применение германиевой пластинки для развязывания мощности генерации.

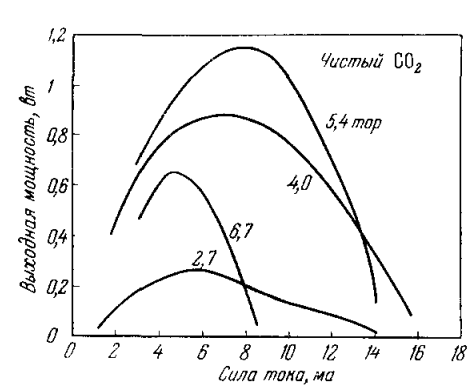


Рис. 5. Зависимость мощности от тока в ОКГ на чистом $\mathrm{CO_2}$ в случае статической газовой системы при различных давлениях $\mathrm{CO_2}$ (температура кожуха равна 20° C).

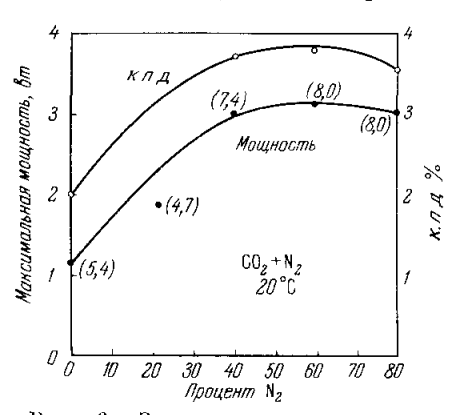


Рис. 6. Зависимость мощности и к. и. д. ОКГ на $\mathrm{CO}_2 - \mathrm{N}_2$ от процентного состава компонент (числа в скобках дают оптимальное полное давление в торах).

Меняя наклон пластинки, можно отбирать различные мощности от ОКГ. Рис. 9 иллюстрирует влияние концентрации паров воды на выходную мощность ОКГ на смеси $\mathrm{CO}_2-\mathrm{N}_2^{-11}$. При работе с 2-метровой трубкой, наполненной $\mathrm{CO}_2-\mathrm{N}_2$, с добавлением $\mathrm{H}_2\mathrm{O}$ при парциальном давлении 0,2 тор, Виттеман получил мощность генерации 20 sm 11 . В последующей работе на 4-компонентной смеси $\mathrm{CO}_2-\mathrm{N}_2-\mathrm{He}-\mathrm{H}_2\mathrm{O}$ в отпаянном ОКГ он достиг 70 sm 16 .

⁵ УФИ, т. 91, вып. 3

Еще более существенное увеличение мощности (в восемь раз) может быть, согласно Розенбергеру ¹⁹, получено при добавлении водорода

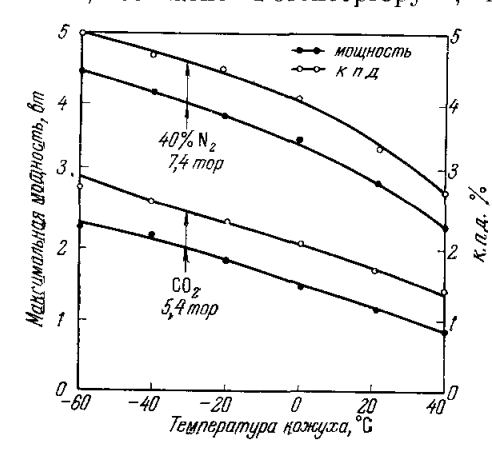


Рис 7 Зависимос.ь мощности к. п. д. ОКГ от температуры кожуха

 $(\sim 0.5 \ mop)$ в проточный ОКГ на $CO_2 \stackrel{.}{\leftarrow} N_2$ (1 и 4 тора, соответственно) *).

Отметим, что хотя в отпаянных ОКГ на СО₂ и получены большие мощности, но еще большие мошности достигаются в ОКГ с проточной системой. Так, Пател и его сотрудники 10 получили на смеси $\mathrm{CO_2}-\mathrm{N_2}-\mathrm{He}$ при скорости потока 6 м/сек максимальную мощность 106 вт при пигании газоразрядной трубки постоянным током, а при нитании выпрямленным, но не отфильтрованным током получили пиковое значение выходной мощности генерации 183 ет. Фрапард 15 в докладе на IV Международной конференции по квантовой электронике упомянул, что

непрерывной работе ОКГ им достигнута мощность генерации 280 вт.

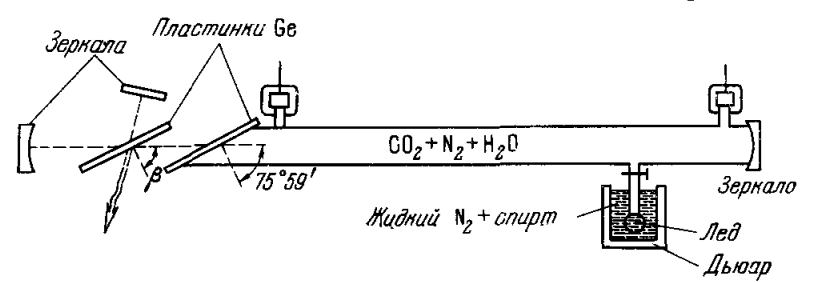


Рис. 8. Установка для изучения влияния примесей H_2O на мощность и к. п д. ОКГ

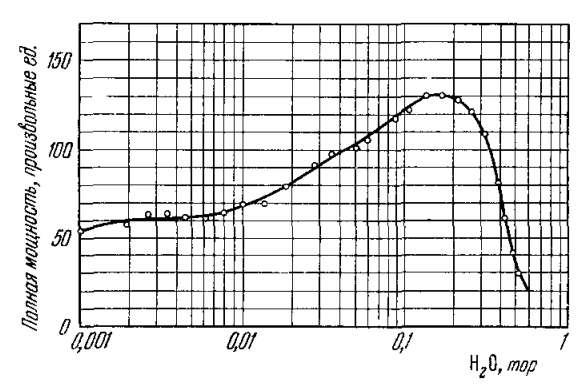


Рис. 9 Влияние водяного пара на мощность ОКГ.

Наибольшая мощность непрерывно действующего ОКГ на ${
m CO}_2$, согласно опубликованным данным, получена Статцем и составляет 500 ${\it sm}^{20}$.

^{* *)} Необходимо отметить, что сравнение влияния паров воды и водорода в статье Розенбергера проведено некорректно. Содержание паров воды и водорода рассчитывается с помощью констант равновесия, пригодных при равновесных условиях, а не в условиях газового разряда, где состав будет определяться электронными процессами

§ 4. СПЕКТРАЛЬНЫЙ СОСТАВ ИЗЛУЧЕНИЯ НЕПРЕРЫВНО ДЕЙСТВУЮЩЕГО ОКГ

В первых работах 5,6 генерация наблюдалась на вращательно-колебательных линиях P-ветвей полос $00^{\circ}1-10^{\circ}0$ и $00^{\circ}1-02^{\circ}0$ молекулы CO_2 , со значениями вращательных квантовых чисел, лежащими в пределах от J=11 до J=37 для полосы $00^{\circ}1-10^{\circ}0$ и от J=21 до J=33 для

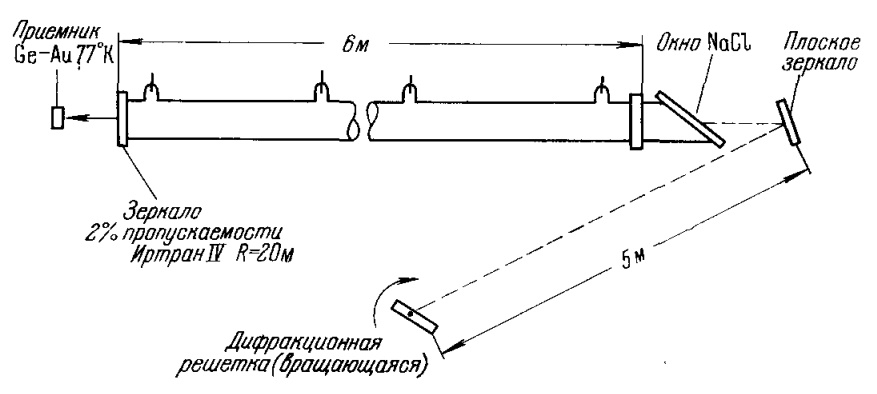


Рис. 10. Лазерная трубка с дифракционной решеткой, использование которой позволило получить генерацию рекордного числа линий.

полосы $00^{\circ}1-02^{\circ}0$. Наибольшая мощность генерации получилась при J=23 $(00^{\circ}1-10^{\circ}0)$ и J=27 $(00^{\circ}1-02^{\circ}0)$.

При добавлении воздуха к CO_2 Хов 21 обнаружил генерацию с мощностью порядка 0.1 мвт на вращательных линиях от J=44 до J=26 R-ветви полосы 00^01-10^00 молекулы CO_2 . Наиболее интенсивной была линия R (20). В дальнейших работах было установлено, что с ростом мощности генерации число одновременно генерирующих линий умень-

тенерация наблюдается на 1-2 линиях $^{8, 10}$. Это явно указывает, во-первых, на то, что наибольшие коэффициенты усиления имеют место при $J\approx 20-30$ и, во-вторых, что между различными переходами имеет место конкуренция. Для устранения конкуренции между различными переходами Моллер и Ригден 13 поместили в полость резонатора дискриминирующее устройство, в качестве которого они использовали дифракционную решетку. Схема установки Моллера и Ригдена приведена на рис. 10. Разрядная трубка

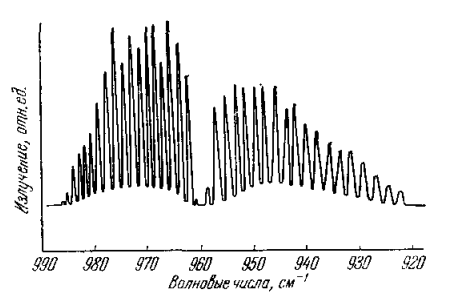


Рис. 11. Спектр генерации ОКГ на ${\rm CO_2}$, полученный при помощи вращающейся дифракционной решетки.

была длиной 6 м при диаметре 22 мм. Питание осуществлялось переменным током с частотой 60 гц. Трубка имела внутреннее зеркало с пропускае-мостью 2%, изготовленное из Иртран-IV с диэлектрическим покрытием. На другом конце трубки находилось окно из NaCl, установленное под углом Брюстера. На расстоянии 5 м от окна была помещена дифракционная решетка шириной 2 см и с 70 штрихами на 1 мм. Теоретическая разрешающая сила решетки была равна 1400. При вращении решетки резонатор настраивался на различные длины волн, благодаря чему Моллер и Ригден смогли наблюдать не только генерацию на гораздо большем

числе линий P-ветвей полос CO_2 , чем ранее, но и генерацию на линиях R-ветвей.

На рис. 11 представлен спектр генерации на полосе $00^{\circ}1-10^{\circ}0$ молекулы CO_2 . Он аналогичен спектру поглощения молекулы CO_2 ²². Большое число линий как P-, так и R-ветви имеет сравнимые интенсивности. При зеркале с 2% пропускания выходная мощность была равна

При зеркале с 2% пропускания выходная мощность была равна 0,27 *вт/м* для наиболее сильных линий. Для очень небольшого числа наиболее интенсивных линий генерация могла быть получена и при зеркале с пропускаемостью 30% при выходной мощности 4 *вт/м*. Для сравнения укажем, что при работе с обычными зеркалами с радиусом 20 м полная выходная мощность на этой же трубке равнялась 130 *вт*.

Фрапард $^{15, 23}$ выполнил аналогичную работу, однако вместо дифракционной решетки в резонансной полости он применил призму из NaCl.

Результаты его исследований приведены в табл. II, III и IV.

Таблица И Волновые числа линий полосы 00°1—02°0 СО₂, наблюдаемых при генерации ОКГ

Символ перехода	Измерен- ное вол- новое число, см-1	Символ перехода	Измерен- ное вол- новое число, см-1	Символ перехода	Измерен- ное вол- новое число, с.м-1	Снмвол перехода	Измерен- ное вол- новое число, см-1
P_{6}^{4} *) P_{8}^{*}) P_{10}^{*}) P_{12}^{*}) P_{14}^{*}) P_{16}^{*}) P_{20}^{*}) P_{22}^{*}) P_{22}^{*}) P_{24}^{*}) P_{26}^{*}) P_{28}^{*}) P_{30}^{*})	957,76 956,16 954,52 952,88 951,16 949,44 947,73 945,94 944,15 942,37 940,51 938,66 936,77 934,88	P ₃₂ *) P ₃₄ *) P ₃₆ *) P ₃₈ *) P ₄₀ *) P ₄₂ *) P ₄₄ *) P ₄₄ *) P ₄₆ *) P ₅₀ *) P ₅₀ *) P ₅₂ *) P ₅₄ *)	932,92 930,97 928,94 926,96 924,90 922,85 920,77 918,65 916,51 914,41 912,16 909,92 907,73	R_{4} R_{6} *) R_{8} *) R_{10} *) R_{14} *) R_{14} *) R_{16} *) R_{20} *) R_{22} *) R_{24} *) R_{26} *) R_{28} *)	964,74 966,18 967,73 969,09 970,50 971,91 972,24 974,61 975,90 977,18 978,47 979,67 980,87	R ₃₀ *) R ₃₂ *) R ₃₄ *) R ₃₆ *) R ₃₈ *) R ₄₀ *) R ₄₂ *) R ₄₄ *) R ₄₆ *) R ₄₈ *) R ₅₀ *) R ₅₂ R ₅₄	982,08 983,19 984,35 985,42 986,49 987,56 988,63 989,61 990,54 991,47 992,46 993,34 994,18

а) Наиболее сильный переход в группе.

*) Наблюден в чистом CO₂.

Как видно из табл. II, он наблюдал генерацию на 27 линиях P-ветви (от P_4 до P_{56}) и 26 линиях (от R_4 до R_{54}) R-ветви перехода 00^01-02^00 . На переходе 00^01-10^00 (табл. III) наблюдалась генерация 29 линий P-ветви (от P_4 до P_{60}) и 25 линий R-ветви (от R_4 до R_{52}).

+ Фрапард также открыл генерацию на линиях P-ветви еще одной полосы молекулы CO_2 , именно, на переходе 01^11-03^10 (табл. IV); было зарегистрировано 25 линий от P_{19} до P_{40} . Однако генерация на P_{20} и P_{22} не была обнаружена.

Недавно, кроме того, Хов и Макфарлан получили генерацию на линиях P-ветви перехода $01^{10}-11^{10}$ в области 11 мк 21 , а Хартман и Клеман — на большом числе переходов $(14^{00}-05^{10}, 14^{00}-13^{10}, 21^{10}-12^{20},$

б) Переход совпадает с переходом P_{23} полосы 0011—0300.

Таблица III Волновые числа линий полосы 0011—1000 СО2, наблюдаемых при генерации ОКГ

Символ перехода	Измерен- ное вол- новое число, см-1	Символ перехода	113мерен- ное вол- новое число, с.м-1	Символ перехода	Измерсн- ное вол- новое число, см-1	Символ перехода	Измерен- ное вол- новое число, см-1
P ₄ P ₆ *) P ₈ *) P ₁₀ *) P ₁₁₀ *) P ₁₁₂ *) P ₁₄ *) P ₁₆ *) P ₁₈ *) P ₁₈ *) P ₂₀ *) P ₂₂ *) P ₂₄ *) P ₂₆ *) P ₂₈ *) P ₃₀ *)	1060,61 1059,04 1057,30 1055,58 1053,91 1052,13 1050,47 1048,66 1046,85 1045,04 1043,19 1041,29 1039,34 1037,40	P_{32} *) P_{34} *) P_{36} *) P_{38} *) P_{40} *) P_{42} *) P_{44} *) P_{46} *) P_{50} *) P_{52} *) P_{52} *) P_{54} *) P_{56} *)	1035,46 1033,48 1031,56 1029,44 1027,38 1025,27 1023,17 1021,03 1016,67 1014,46 1012,25 1010,00 1007,76	P_{60} R_4 *) R_6 *) R_{10} *) R_{110} *) R_{12} *) R_{14} *) R_{16} *) R_{18} *) R_{10} *) R_{20} *) R_{24} *) R_{26} *)	1005,38 1067,50 1068,89 1070,43 1071,87 1073,28 1074,63 1076,00 1077,30 1078,57 1079,85 1081,08 1082,29	R ₂₈ *) R ₃₀ *) R ₃₂ *) R ₃₄ *) R ₃₆ *) R ₃₆ *) R ₄₀ *) R ₄₂ *) R ₄₂ *) R ₄₄ *) R ₄₄ *) R ₄₆ *) R ₄₈ R ₅₀ R ₅₂	1083,48 1084,63 1085,74 1086,84 1087,90 1088,97 1090,04 1090,99 1092,00 1093,01 1093,85 1094,81 1095,71

 $^{^{\}rm a})$ Наиболее сильный переход в группе. *) Наблюден в чистом ${\rm CO}_2.$

Таблица IV Волновые числа линий полосы 0111—0310 ${
m CO_2},$ наблюдаемых при генерации ОКГ

Символ перехода	Изме- реннан длина волны, мем (вакуум)	Изме- ренное волновое число. см-1	Рассчи- танное волновое число, см=1	Символ перехода	Изме- ренная длина волны, мкм (вакуум)	Изме- ренное волновое число, см-1	Рассчи- танное волновое число, см-1
P ₁₉ P ₂₁ *) P ₂₃ *) 6) P ₂₃ *) 6) P ₂₅ *) P ₂₆ *) P ₂₇ *) P ₂₈ *) P ₂₉ *) P ₃₀ *) a) P ₃₁ *) P ₃₂ *) P ₃₃ *)	10,9735 10,9950 11,0165 11,0300 11,0385 11,0535 11,0610 11,0760 11,1000 11,1070 11,1235 11,1315	911,29 909,50 907,73 906,62 905,92 904,69 904,08 902,85 902,12 900,90 900,33 899,00 898,35	911,43 909,65 907,85 906,71 906,02 904,84 904,18 902,94 902,31 901,02 900,42 899,08 898,51	P ₃₄ *) P ₃₅ *) P ₃₆ *) P ₃₆ *) P ₃₇ *) P ₃₈ P ₄₀ P ₄₁ P ₄₂ P ₄₃ P ₄₄ P ₄₅	11,1485 11,1555 11,1735 11,1790 11,1980 11,2035 11,2235 11,2295 11,2545 11,2770 11,2805	896,98 896,42 894,97 894,53 893,02 892,58 890,99 890,51 890,51 886,53 886,76 886,49	897,41 896,57 895,41 894,61 893,09 892,64 891,05 890,64 888,98 888,61 886,89 886,57

 $^{^{\}rm d})$ Наиболее сильный переход. $^{\rm 6})$ Переход совпадает с переходом P_{56} полосы $00^{\rm o}1-02^{\rm o}0.$ *) Наблюден в чистом ${\rm CO}_2$

 $03^{1}1-02^{2}1$, $24^{0}0-23^{1}0$) в области от 11 до 18 мк 25 . Отметим, однако, что мощность генерации на всех этих переходах значительно меньше, чем на переходе $00^{0}1-10^{0}0$.

Таким образом, в результате рассмотренных выше работ установлена возможность получения генерации на переходах молекулы CO_2 в области от 9 до 18 мк, причем (что не менее существенно) показана возможность изменения волнового числа ОКГ через интервалы 1-2 см⁻¹, что весьма важно для ряда как физических, так и практических задач.

§ 5. ИМПУЛЬСНЫЙ ОКГ БОЛЬШОЙ МОШНОСТИ ·

До сих пор речь шла только об ОКГ, работающем в непрерывном режиме. Работа ОКГ на CO₂ в импульсном режиме изучалась в ^{5, 26}. Однако большие мощности генерации на СО2 в импульсном режиме были получены впервые в работе Фрапарда 15, 27. В этой работе импульсы тока длительностью 10 мксек создавались при помощи батарей конденсаторов. Пиковое напряжение могло достигать 10 кв при токе 1,1 а. Регистрация излучения велась осциллографически при помощи приемника из германия, легированного золотом, охлажденного до 77° К. В отпаянной разрядной трубке исследовались чистый ${
m CO_2}$ и смеси ${
m CO_2} + {
m N_2}$, CO_2 + He. Наблюдалось когерентное излучение при 10,59 мк. При работе с ${
m CO_2}$ ширина импульса генерации, измеренная на 1/3 высоты, была равна 500 мксек, пиковая мощность 220~em, в то время как мощность на смеси ${
m CO}_2 + {
m N}_2$ была равна 450 вт. Как в первом, так и во втором случае генерация происходит не только во время разряда, но и в распадающейся плазме. Наибольщая пиковая мощность излучения была достигнута на смеси CO_2 — Не; она оказалась равной 825 ет. В отличие от первых двух случаев, не было обнаружено никакого запаздывания между током и вынужденным излучением, что, по мнению Фрапарда, указывает на электронное возбуждение верхнего уровня ОКГ на СО2.

§ 6. ОКГ В КОМБИНАЦИИ С ТЕХНИКОЙ МОДУЛИРОВАННОЙ ДОБРОТНОСТИ 17,28

Для получения повторяющихся коротких импульсов генерации ОКГ на CO_2 с большой выходной мощностью Джаван и его сотрудники применили технику модулированной добротности. Схема установки приведена на рис. 12^{13} . Применялась разрядная трубка с диаметром 2,54 см и длиной 1,50 м, с окнами из NaCl, установленными под углом Брюстера. Резонатор состоял из зеркала с радиусом кривизны 3 м с отверстием для вывода излучения и плоского зеркала на оси мотора. Полная длина интерферометра была 2,1 м. Непрерывная мощность ОКГ не превышала нескольких ватт. Опыты проводились на смесях $\mathrm{CO}_2 + \mathrm{N}_2$ и $\mathrm{CO}_2 + \mathrm{N}_2 + \mathrm{He}$. Давление He варьировалось от 1 до 50 тор, давление CO_2 было меньше 1 тора, а давление N_2 — около 3 торов. Максимальная частота повторения импульсов модулированной добротности ограничивалась скоростью вращения зеркала, которая не могла быть больше $\mathrm{500}$ об/сек.

При наилучших условиях работы было найдено, что энергия в каждом импульсе была равна $1.1~m\partial m$. Последующие исследования показали, что частота повторения импульсов модулированной добротности, определяемая временем релаксации ($\sim 0.3~mcen$) совокупности уровней, участвующих в генерации, может быть увеличена почти на порядок без потери интенсивности в импульсах модулированной добротности. При помощи приемника из германия, легированного золотом, была оценена верхняя

граница ширины импульса, равная 100 нсек. Последующие же исследования (см. ниже) показали, что длительность импульса равна 20 нсек. Следовательно, пиковая мощность ОКГ на CO_2 была равна 50 квт.

В работе Бриджеса 29 осуществлена модуляция добротности резонатора ОКГ на CO_2 с большой частотой повторения. Газоразрядная трубка имела длину 50 см, диаметр 1 см и была наполнена смесью CO_2 (4 тора) и N_2 (4 тора). Работа велась без прокачки газа при силе электрического тока 5 ма и питании 8 кв. Применялись зологое зеркало с радиусом кривизны 2 м и плоское зеркало с диэлектрическим покрытием и пропускаемостью 8%. Расстояние между зеркалами составляло 8 м. В режиме

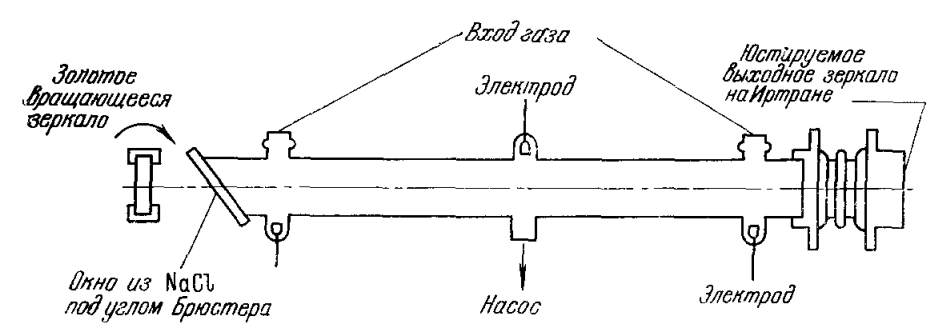


Рис 42. Схема установки для проведения опытов по модуляции добротности ${\rm OKF}$ на ${\rm CO}_2.$

непрерывной генерации была получена выходная мощность 1 ет при 10,6 мк. Перестройка резонатора с помощью продольного перемещения зеркала позволяла получить генерацию, на вращательных линиях от P(16) до P(28).

При перемещениях зеркала на расстояния порядка полдлины волны со скоростью $16\ m/ce\kappa$ наблюдалась генерация только на вращательной линии P (20). При больших скоростях (> $30\ m/ce\kappa$) пиковая мощность генерации падала. При скоростях, меньших $16\ m/ce\kappa$, во время перемещения последовательно появлялась генерация и на других линиях, наблюдавшихся при непрерывном режиме. При оптимальных условиях генерации ($v=16\ m/ce\kappa$) длительность импульса генерации была порядка одной микросекунды при пиковой мощности $30\ sm$. Средняя по времени мощность генерации была равна мощности непрерывного режима, т. е. $1\ sm$. Время порядка $3\cdot 10^{-5}\ ce\kappa$ между двумя импульсами в оптимальном режиме Бриджес связывает со временем релаксации нижнего уровня; однако эта интерпретация не однозначна.

§ 7. ОСНОВНЫЕ ДАННЫЕ О МОЛЕКУЛЕ СО₂. СЕЛЕКТИВНОЕ ВОЗБУЖДЕНИЕ ВЕРХНЕГО ЛАЗЕРНОГО УРОВНЯ СО₂ КОЛЕБАТЕЛЬНО-ВОЗБУЖДЕННЫМ АЗОТОМ

Выше были описаны основные конструктивные особенности ОКГ на CO_2 и экспериментальные факты, полученные при их разработке и исследовании. В последующих разделах мы рассмотрим современное состояние вопроса о механизме генерации ОКГ на CO_2 и смесях его с различными газами. Однако, прежде чем переходить к рассмотрению этого вопроса, мы вкратце напомним основные дапные о молекуле CO_2 , которые нам будут необходимы в дальнейшем. CO_2 — линейная симметричная молекула. Она имеет три основных типа колебаний: ν_i — продольное

симметричное, v_2 — деформационное и v_3 — продольное асимметричное (рис. 13). Энергетическая схема ее нижних колебательных уровней приведена на рис. 14 5, 7, 30. Симметричному колебанию v_1 соответствует переход между уровнями $10^{90}-00^{90}$. Этот переход запрещен в инфракрасной области спектра и может наблюдаться только в спектре комбинационного рассеяния. Деформационному колебанию v_2 соответствует

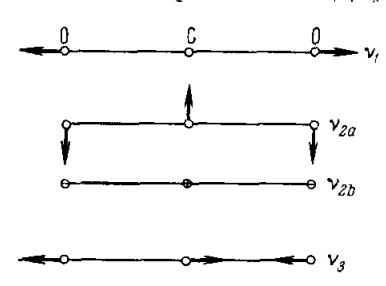


Рис. 13. Нормальные типы колебаний молекулы CO₂.

сильный переход $01^{10}-00^{\circ}0$. Он проявляется в инфракрасной области спектра при 15.6 мкм. Подчеркнем, что между состоянием $10^{\circ}0$ и $02^{\circ}0$ (второе квантовое состояние деформационного колебания) имеет место ферми-резонанс $^{31, 32}$, благодаря чему расстояние между уровнями 01^{10} и $02^{\circ}0$ равно не $v_2 - 667$ см $^{-1}$, а всего 618 см $^{-1}$. Переход $00^{\circ}1-00^{\circ}0$ (4,3 мк), соответствующий антисимметричному колебанию v_3 — самый сильный в инфракрасной области спектра. В табл. V приведены данные об интегральных показате-

лях поглощения $\int k_{\nu}d\nu$ при 300° K полос CO₂, имеющих отношение к работе ОКГ на CO₂ $^{38-35}$. Результаты, приведенные в этой таблице, получены при работе с инфракрасными приборами средней дисперсии и уширении давлением вращательных линий с целью устранения аппаратурных ошибок.

При типичных условиях, которые имеют место при работе ОКГ на CO_2 , излучение при переходах 01^10-00^00 и 00^01-00^00 , оканчивающихся

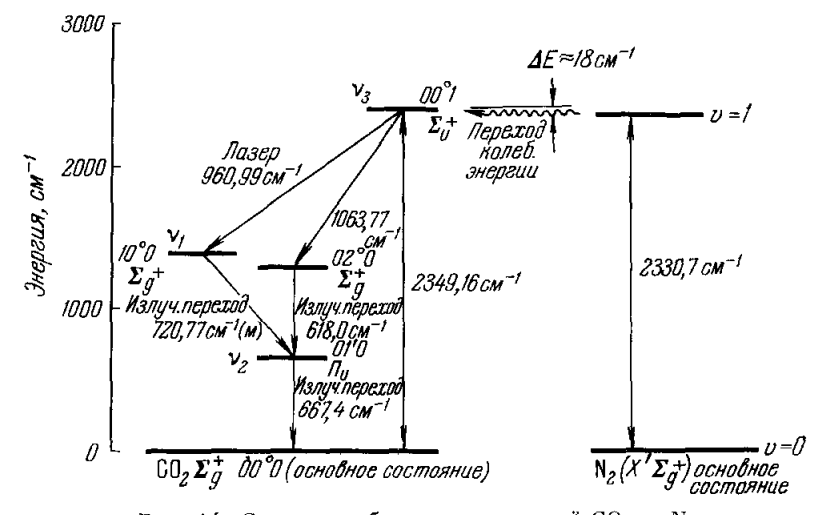


Рис. 14. Схема колебательных уровней CO₂ и N₂.

на основном колебательном состоянии, будет пленено 18 . Оценки, основанные на данных табл. V, показывают, что радиационное время жизни уровня $00^{\circ}1$ будет меньше 10^{-2} сек, а уровня $01^{\circ}0$ — меньше 1 сек. Для остальных уровней, участвующих в работе ОКГ на CO_2 , типичными будут времена жизни порядка секунд. Например, согласно последним измерениям, постоянная времени перехода $00^{\circ}1-10^{\circ}0$ равна 2.8 сек 36.

Как уже указывалось выше, объяснение работы ОКГ на $CO_2 - N_2$, его большой мощности и к. п. д. было изложено в работе Патела 7 . Известно, что электрический разряд в азоте приводит к очень эффективному

образованию колебательно-возбужденных молекул N_2 (10—30% от общего числа молекул N_2)^{37, 38}. Так как молекула N_2 имеет одинаковые ядра, то ее дипольное излучение запрещено и разрушение ее возбужденных колебательных уровней возможно только за счет столкновений. Однако сечение столкновений молекул N_2 между собой, приводящих

к превращению колебательных квантов в поступательную энергию, очень мало (меньше 10^{-23} см 2 ^{3†}). Поэтому при обычных лабораторных размерах сосудов и давлениях N_2 порядка 1 тор колебательная релаксация N_2 обусловлена в основном столкновениями со стенками. Ситуация существенно изменяется при добавлении к N_2 молекул CO_2 . Вследствие почти полного совпадения энергий первого колебательного уровня N_2 и уровня OO^{01} CO_2 (см. рис. 14) (ΔE

 $18cm^{-1}$), молекулы CO_2 могут отбирать энергию у N_2 , что должно привести к селективной заселенности уровня $00^{0}1$ CO_2 . Ввиду того, что радиационная сила лазерных переходов $00^{0}1-10^{0}0$ и $00^{0}1-02^{0}0$ значительно меньше, чем сила переходов с нижних лазерных уровней $(10^{0}0-01^{1}0)$ и $02^{0}0-01^{1}0$) (см. табл. V и

Таблица V Интегральные интенсивности для колебательно-вращательных полос CO₂ (температура 300° K)

Переход	Нулеван линин нолосы, см-1	$\int_{CM-2am} k_{\alpha} dx$
0000-0001	2349	2706 [33], 2500 [34]
0200-0001	1064	$\begin{bmatrix} 0.0532^{[33]}, \\ 0.045^{[34]} \end{bmatrix}$
1000-0001	961	$\begin{bmatrix} 0,0219 {}^{[33]}, \\ 0,023 {}^{[34]}, \\ 0,0283 {}^{[35]} \end{bmatrix}$
0110-1000	721	$7.5^{[33]}$
0000-0110	667	330 [33]

рис. 14), возникает инверсия, проявляющаяся в мощной генерации. Такова интерпретация механизма, обеспечивающего инверсную заселенность в ОКГ на ${
m CO_2}$ - ${
m N_2}$, развитая Пателом.

Эта интерпретация находится в хорошем согласии с работой Моргана и Шиффа 39 , так как согласно их данным эффективность тушения колебательно-возбужденного азота молекулами CO_2 на три порядка больше, чем при столкновениях с молекулами N_2 .

§ 8. ПЕПОСРЕДСТВЕННОЕ ЭЛЕКТРОППОЕ ВОЗВУЖДЕНИЕ КОЛЕБАТЕЛЬНЫХ УРОВНЕЙ. ЗАСЕЛЕПИЕ ВЕРХПЕГО ЛАЗЕРНОГО УРОВНЯ ОКГ НА $\mathrm{CO_2}$, $\mathrm{CO_2}$ +- $\mathrm{N_2}$, $\mathrm{CO_2}$ + $\mathrm{N_2}$ |- He , $\mathrm{CO_2}$ |- He

Гипотеза Патела о селективном возбуждении верхнего лазерного уровня OKI на CO_2 за счет резонансной передачи колебательной энергии от молекул N_2 достаточно обоснована и в настоящее время принята всеми исследователями. Однако его объяснение 8 большой заселенности колебательных уровней основного электронного состояния N_2 за счет электрон-ионной и атом-атомной рекомбинаций, а также за счет каскадов с возбужденных электронпых состояний не только не обосновано, но и мало вероятно.

В нашей работе 40 предложена гораздо более обоснованная и правдоподобная гипотеза о непосредственном электронном возбуждении колебательных уровней молекул N_2 и CO, которое и является основным процессом, обеспечивающим большой уровень заселенности верхнего лазер ного уровня $OK\Gamma$ на CO_2 . Приняв эту гипотезу, можно понять не голько большой уровень мощности $OK\Gamma$ на $CO_2 - N_2$, но и объяснить другие весьма важные экспериментальные факты, ранее не имевшие надежного истолкования. А именно, можно, во-первых, понять, почему уровень достигнутых мощностей ОКГ на чистом CO_2 сравним с мощностями ОКГ на смеси $CO_2 + N_2$, и, во-вторых, дать объяснение факта значительного повышения мощности при добавлении гелия как к чистому CO_2 , так

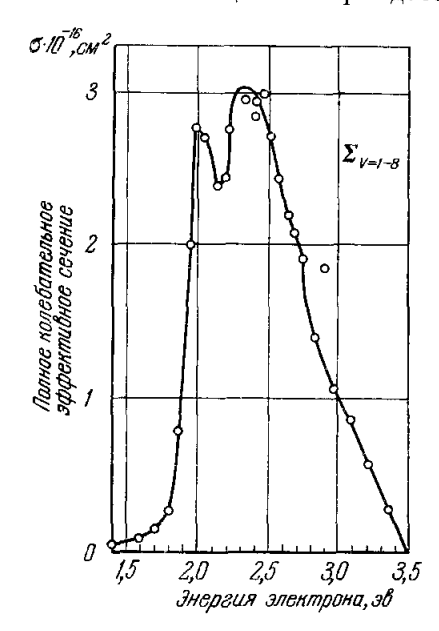


Рис. 15. Зависимость сечения неупругого рассения электронов на молекулах N_2 от энергии электрона.

и к смеси $CO_2 - N_2$. Наша гипотеза основана на экспериментальных работах Шульца 11-43 и Свифта 44.

Шульц экспериментально исследовал неупругие столкновения электронов с молекулами N₂ и CO и установил, что соответствующие эффективные сечения о имеют резонансный характер, необычайно велики и достигают максимума при энергиях электронов 2,3 эв $[\sigma (e, \tilde{N}_2) = 3.10^{-16} cm^2]$ $[\sigma(e, CO) = 8 \cdot 10^{-16} \, cm^2]$. Результаты его исследований представлены на рис. 15 и 16. Из рисунков видно, что абсолютные значения суммарных сечений, учитывающих возбуждение колебательных уровней вплоть до восьмого, очень велики при энергиях электрона от 1,7 до 3,5 эв в случае N2 и при энергиях электрона от 1,0 до 3,0 эв в случае СО.

В работе ⁴³ измерены не только суммарные сечения, но и парциальные сечения возбуждения отдельных колебательных уровней. Оказалось, что сечения возбуждения уровней от первого до четвертого сравнимы между собой,

а сечения возбуждения седьмого и восьмого на порядок меньше. Интерпретация больших величин сечений электронного возбуждения

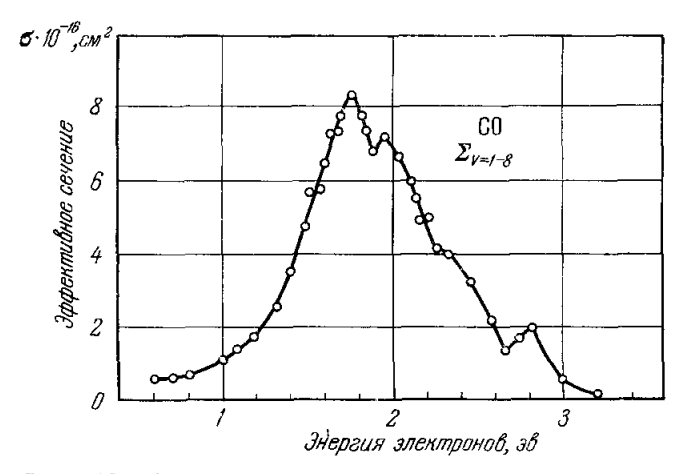


Рис. 16 Зависимость сечения неупругого рассеяния электронов на молекулах CO от энергии электрона.

колебательных уровней и их резонансной зависимости от эпергии электронов связана с образованием короткоживущих отрицательных ионов N_2^- и CO^- . Теоретические расчеты сечений $^{45,\ 46}$ привели к вполне удовлетворительному согласию с экспериментальными данными Шульца.

На рис. 17 фриведены результаты Свифта, полученные при изучении распределения электронов по энергиям в положительном столбе тлеющего разряда в N_2 ⁴⁴. Видно, что распределение электронов явно не максвелловское с максимумом при энергии 2,0—3,0 эв, причем с ростом давления происходит смещение максимума к меньшим энергиям и значительно уменьшается число быстрых электронов. Этот результат находится в согласии с данными Шульца. Уменьшение числа электронов с энергиями, близкими к 1,5 эв, вызвано резонансным взаимодействием электронов с N_2 . Уменьшение числа быстрых электронов с ростом числа молекул N_2 (с ростом давления) обусловлено увеличением числа актов передачи энергии от электронов к N_2 . В согласии с данными Шульца

находится и более ранняя работа Хааза ⁴⁷, согласно которой после прохождения через азот пучка моноэнергетических электронов с любыми энергиями в области от 2 до 5 эв остаются только электроны со средней энергией 1,5 эв.

В случае ОКГ на CO_2 + N_2 , в которых обычно работа ведется при давлениях, больших чем в опытах Свифта, можно с достаточной уверенностью считать, что увеличение давления до 1 тора и добавление CO_2 — газа с меньшим потенциалом ионизации — может только привести к уменьшению средней энергии электронов. Кроме того, за счет перехода коле-

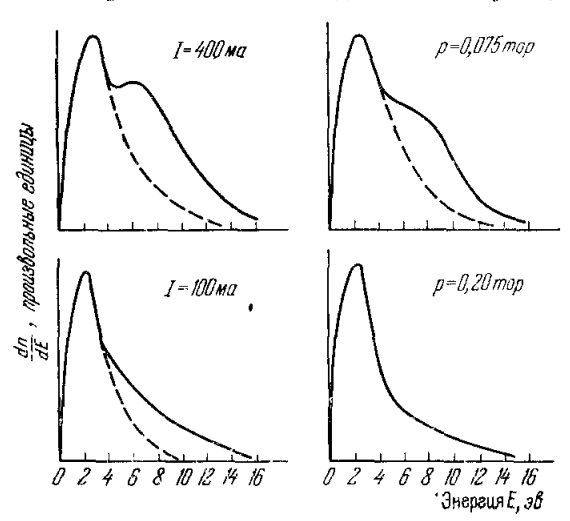


Рис. 17. Функция распределения электронов по энергиям в положительном столбе разрида в $\rm N_2$.

бательной энергии к верхнему лазерному уровню ${\rm CO_2}$ произойдет до-полнительное уменьшение числа быстрых электронов. Таким образом, средняя энергия электронов в разряде при условиях, близких к тем, которые имеют место в ОКГ на $CO_2 - N_2$, будет не болес 1,5-2 эв. А это означает, с учетом большого значения о (е. N2), что основной причиной, обеспечивающей значительные концентрации N_2 в возбужденных колебательных состояниях, является непосредственно электронное возбуждение. Подчеркнем, что эффективное использование колебательно-возбужденного N2 для заселения верхнего лазерного уровня СО, возможно не только при значениях колебательного квантового числа $v(N_2) = 1$, но и вплоть до значений $v(N_2) = 4$, так как при этих значениях v ангармоничность молекулы N2 еще не приводит к величинам колебательных квантов, отличающимся от уровня $00^{\circ}1$ CO_2 больше, чем на kT_0 . Возможность эффективного использования группы колебательных уровней N_2 для возбуждения верхнего дазерного уровня CO_2 благоприятствует получению больших значений к. п. д. и мощности ОКГ на смеси $CO_2 + N_2$.

Легко убедиться в том, что непосредственное электронное возбуждение группы колебательных уровней $N_2(v=1\div 8)$ и последующая резонансная передача энергии колебательным уровням $\mathrm{CO}_2\ (00^0v)$ могут обеспечить такие значения скоростей заселения верхнего лазерного уровня $\mathrm{CO}_2\ (00^01)$, что эти скорости будут вполне достаточными для достижения наблюдаемых больших значений выходиых мощностей генерации.

Для оценок примем, что в тлеющем разряде в ОКГ на $CO_2 + N_2$ концентрация электронов n_e равна по крайней мере 10^{10} см⁻³. (Порядок величины концентрации электронов можно получить с помощью графиков зависимости скорости дрейфа электронов в He, CO_2 , N_2 и CO, приведенных в книге Брауна ⁴⁸ на рис. 3.6, 3.12 и 3.19.)

Произведя усреднение эффективных сечений столкновений электронов, приводящих к колебательному возбуждению молекул N_2 (см. рис. 15), найдем, что при температуре электронов 1 se и давлении азота 1 mop скорость возбуждения колебательных уровней азота составляет $1.1 \cdot 10^{18} \ ce\kappa^{-1}$, а при температуре $2 \ se$ — $1.3 \cdot 10^{18} \ ce\kappa^{-1}$.

Характерным значением мощности генерации ОКГ на ${\rm CO}_2$ является 10^6 эрг·см⁻³сек⁻¹ 11, что соответствует $\sim 10^{18}$ квантам в секунду. Поэтому можно считать, что основным процессом, обеспечивающим заселенность верхнего лазерного уровня, является непосредственное колебательное возбуждение электронами молекул ${\rm N}_2$ с последующей резонансной передачей колебательных квантов молекулам ${\rm CO}_2$.

Конечно, не исключена возможность накачки на верхний лазерный уровень $00^{\circ}1$ CO₂ и за счет других процессов, в частности, за счет соударений электронов с молекулой CO₂. О возможно большой эффективности этого процесса можно подозревать на основании кривой вероятности соударений электронов с CO₂, приведенной в книге Брауна ⁴⁸ па рис. 1.12, и последней работы по рассеянию электронов на CO₂ ⁸⁰. Однако такого однозначного заключения, как для молекул N₂ и CO, мы сделать не можем, так как упругие и неупругие сечения в случае молекулы CO₂ не разделены. Так или иначе, любой дополнительный процесс накачки голько улучшит условия генерации и повысит выходную мощность ОКГ на CO₂.

Выше при проведении всех рассуждений мы предполагали сильную столкновительную связь колебательных уровней. Этот факт, вообще говоря, хорошо известен; в случае молекул $\tilde{\mathrm{CO}}_2$ он подтверждается также работой Хоккера и др. 49. Оказалось, что после быстрого опустошения колебательного уровня 0001 молекулы СО2 он снова заселяется за время порядка 10^{-5} се κ за счет имеющих большую заселенность выше лежащих уровней. Совокупность этих уровней и является тем резервуаром, который может поддерживать высокую заселенность верхнего лазерного уровня $00^{\rm o}1$. Подчеркнем, что ввиду малой плотности электронов ($\sim 10^{10}$ cm^{-3}) одна молекула N₂ испытывает с электронами всего около 100 столкновений в секунду, а это означает, что процесс установления стационарной заселенности колебательных уровней ${f N}_2$ и ${f CO}_2$ в результате столкновений с электронами довольно медленен, и характерным временем для него является время порядка 10⁻² сек. При выяснении механизма генерации в ОКГ на чистом СО2 необходимо иметь в виду, что вследствие малой энергии лиссоциации СО, (2,8 эв) при электрическом разряде образуется значительное количество молекул CO 50. Учитывая большое сечение возбуждения колебательных уровней СО электронным ударом, а также то, что разность энергий колебательного кванта СО и верхнего лазерного уровня CO_2 лежит в пределах kT_0 ($\Delta E_{\rm CO_2CO}=170~cm^{-1}$), можно предположить, что ту роль, которую N_2 играет в смеси CO_2-N_2 , в смеси CO_2 — CO_2 образующейся в газовом разряде в чистом CO_2 , играет CO_2 Меньшая эффективность генерации на чистом СО2 (фактически на смеси ${
m CO_2-CO)}$ также понятна, так как $\Delta E_{
m CO_2CO}>\Delta E_{
m CO_2N_2}$, и, кроме того, молекула СО, в отличие от N2, имеет не равный нулю дипольный момент, приводящий к уменьшению заселенности колебательных уровней СО. Последний факт может быть несущественным, если имеет место пленение излучения.

Естественное объяснение получает также повышение мощности генерации при добавлении Не к смеси $CO_2 - N_2$ и к чистому CO_2 . В самом леле. Не — газ с наибольшим потенциалом ионизации и наибольшей электронной температурой в газовом разряде. Так, в соответствии с диффузионной теорией Шоттки (см., например, 51), при давлении Не $p_{\rm He}=10~mop$ в трубке диаметром 2.5~cm электронная температура равна $22~000^{\circ}$ K, а при $p_{\rm He} = 5~mop - 35~000^{\circ}$ K, что находится в хорошем согласии с недавно проведенными измерениями Ю. Б. Голубовского и Ю. М. Кагана (частное сообщение). Поэтому можно предположить, что добавление Не к CO₂ или к смеси CO₂ — N₂ приведет к «выравниванию» функции распределения, т. е. к компенсации выбывающих из разряда электронов вследствие резонансного взаимодействия с N₂ и CO. Отметим также, что добавление Не к СО2 и к смеси СО2 — N2 не только приводит к увеличению заселения верхнего лазерного уровня, но и к уменьшению заселения нижнего лазерного уровня (см. § 9). Этот факт подтверждается экспериментально обнаруженным уменьшением интенсивности спонтанного излучения с нижнего лазерного уровня при добавлении Не к смеси $CO_2 - N_2^{14}$.

Таким образом, основанная на экспериментальных фактах гипотеза о непосредственном электронном возбуждении колебательных уровней ${\rm CO}$ и ${\rm N}_2$ позволяет с единой точки зрения объяснить большую совокупность результатов в работе ${\rm OK}\Gamma$ на ${\rm CO}_2$ и, прежде всего, большой к. п. д. и большие мощности. Гипотеза же о каскадном заселении колебательных уровней при разумных предположениях о величинах сечений процессов, приводящих к каскадному заселению, и о распределении электронов в газовом разряде. а в особенности при учете потерь, сопровождающих эти процессы, не может привести к наблюдаемым к. п. д., и мощностям ${\rm OK}\Gamma$ на ${\rm CO}_2$. Поэтому гипотеза непосредственного электронного возбуждения и является более достоверной. Конечно, последнее слово должен сказать эксперимент, поэтому прежде всего необходимо изучение распределения электронов по скоростям в плазме электрического разряда в различных газовых смесях, применяемых в ${\rm OK}\Gamma$ на ${\rm CO}_2$.

\S 9. КОЛЕБАТЕЛЬНАЯ РЕЛАКСАЦИЯ СО2. ЗАСЕЛЕННОСТИ ЛАЗЕРНЫХ УРОВНЕЙ

а) Релаксация нижнего лазерного уровня

До сих пор речь шла только о мехапизме заселения верхнего лазерного уровня OKI° на CO_2 .

В настоящем параграфе дискутируется вопрос о механизме образования инверсной заселенности за счет эффективного разрушения нижнего уровня вследствие столкновений с тяжелыми частицами. Как было показано впервые В. А. Фабрикантом 52-53, селективное разрушение нижнего уровня само по себе может привести к инверсной заселенности. Важность этого процесса в случае ОКГ на СО2 несомненна.

Для определенности будем в дальнейшем обсуждать работу ОКГ на $\mathrm{CO}_2+\mathrm{N}_2$, который использовался Виттеманом 11 . В его опытах применялась смесь, состоящая из CO_2 при давлении 1 тор (3,6·10¹⁶ молекул/см³) и N_2 при давлении 2,5 тор. Была достигнута удельная выходная мощность 1,3·10⁶ эрг/см³сек, которой соответствовало 7·10¹⁸ кваптов генерируемого излучения. Возможно, что удельная мощность несколько завышена Виттеманом, так как он считал только $^{1}/_{8}$ часть объема газоразрядной трубки участвующей в генерации излучения.

Прежде всего отметим, что даже одни радиационные переходы могут привести к возникновению инверсии, так как радиационная постоянная времени лазерного перехода (2,8 сек) больше радиационного времени жизни нижнего лазерного уровня (0,5 сек). В то же время сильное излучение при 4,27 мк пленено. Таким образом, нижний лазерный уровень будет опустошаться быстрее, чем верхний. Однако скорость радиационного разрушения не может быть согласована с большой удельной мощностью, указанной выше. В самом деле, заселенность нижнего лазерного уровня 10^{00} должна быть не выше $10^{11}-10^{15}$ см⁻³. Тогда, если в непрерывно действующем ОКГ число генерируемых квантов составляет $10^{18}~cm^{-3}~ce\kappa^{-1}$, необходимо, чтобы время релаксации нижнего уровня было не больше $10^{-4} - 10^{-3}$ сек. Такие малые времена могут быть обеспечены только за счет столкновительных процессов, причем вряд ли необходимо принимать во внимание столкновения с электронами, частота столкновений с которыми даже при сечении $\sim 10^{-16}$ см² не будет более 100 в секунду.

В то же время при давлении 1 mop CO_2 и при комнатной температуре общее число газокинетических столкновений ($\sigma=1,6\cdot 10^{-15}$ cm^2), испытываемых одной молекулой CO_2 со всеми другими молекулами CO_2 , равно $1,15\cdot 10^7$ $ce\kappa^{-1}$. Поэтому столкновения молекул друг с другом и должны быть основным процессом, обусловливающим релаксацию нижнего лазерного уровня. Действительно, согласно расчетам Герцфельда 54 , по крайней мере одно из $5\cdot 10^2$ столкновений возбужденной молекулы CO_2 10^{90} с другими переводит ее в состояние 01^{10} , т. е. время релаксации этого уровня составляет $4,3\cdot 10^{-5}$ $ce\kappa$, что находится в согласии с требованием, следующим из больших значений наблюдаемых удельных мощностей генерации.

Однако ясно, что если нижний деформационный уровень 01^{10} не будет достаточно эффективно опустошаться, то это приведет не только к увеличению его заселенности, но и к возрастанию числа обратных процессов заселения нижнего лазерного уровня. Поэтому для возникновения инверсной заселенности необходимо, чтобы время релаксации уровня 01^{10} было по крайней мере не больше времени релаксации нижнего лазерного уровня. Времена релаксации первого уровня деформационного колебания молекулы CO_2 хорошо изучены как в чистом CO_2 , так и в смесях с различными газами $^{54-69}$.

Таблица VI Времена релаксации т уровня 0110 CO₂ при наличии примеси 57-61 (давление 1 тор, температура 300° K)

Примесь	Число эф- фективных столкнове- ний Z ₁₀	t, cer	Примесь	Число эф- фективных столкнове- ний Z_{10}	τ, сек
$\begin{array}{c} \mathrm{CO_2} \\ \mathrm{N_2} \\ \mathrm{CO} \\ \mathrm{NO} \end{array}$	51 330 1 200 230 260	$4,4 \cdot 10^{-3} 1,04 \cdot 10^{-4} 2,0 \cdot 10^{-5} 2,26 \cdot 10^{-5}$	H ₂ O H ₂ He	60 300 2 600	$5, 2 \cdot 10^{-6} \\ 2, 6 \cdot 10^{-5} \\ 2, 26 \cdot 10^{-4}$

В табл. VI эти времена приведены для температуры 300° K и давления 1 mop. В случае смеси двух газов (${\rm CO_2+M}$) время релаксации τ уровня 01^{10} молекулы ${\rm CO_2}$ при полном давлении p смеси можно определить из соотношения $^{57,~58}$:

$$\frac{1}{\tau} = \frac{p_{\rm CO_2}}{\tau_{\rm CO_2, CO_2}} + \frac{p - p_{\rm CO_2}}{\tau_{\rm CO_2, M}} ,$$

где $\tau_{\text{CO}_2,\text{CO}_2}$ и τ_{CO_2} м — времена релаксации молекулы CO_2 в результате столкновений с молекулами CO_2 и М соответственно при давлении 1 тор: $p = p_{\text{CO}_2} + p_{\text{M}}$ — полное давление смеси. Из таблицы видно, что при давлении 1 тор CO_2 разрушение уровня 01^{10} будет происходить значительно медленнее, чем разрушение уровня 10^{10} , и, следовательно, будет происходить накопление молекул CO_2 на уровне 01^{10} . Добавление же азота при давлении 2,5 тор приведет к времени релаксации уровня 01^{10} , равному $\sim 4 \cdot 10^{-5}$ сек. Следует также иметь в виду, что в ОКТ на CO_2 + $+N_2$ всегда присутствует CO_2 и NO, наличие которых, даже в небольшом количестве, также значительно уменьшает время релаксации уровня 01^{10} .

Аналогичное положение имеет место и при работе ОКГ на чистом CO_2 . Образующийся в газовом разряде CO приводит не только к накачке верхнего лазерного уровня, но и к очень эффективному разрушению уровня 01^{10} , а следовательно, и нижнего лазерного уровня 10^{6} 0. Наличие CO даже при давлении 0.5 тор приведст к времени релаксации $\sim 4 \cdot 10^{-6}$ сек, что в несколько раз меньше времени релаксации уровня 10^{9} 0 за счет столкновений с молекулами CO_2 .

Из таблицы видно также, что для уменьшения времени релаксации нижнего уровня необходимы такие же количества примесей H_2 и еще меньшие — H_2 О. Наличие этих ускоряющих релаксацию примесей и приводит к увеличению мощности ОКГ на CO_2 в опытах Розенбергера 19 и Виттемана 11.

В приведенном выше качественном рассмотрении не учитывалось влияние примесей к CO_2 на скорость непосредственного разрушения нижнего лазерного уровня, т. е. на скорость перехода молекулы CO_2 из состояния 10^{90} прямо в основное. Известно, что в чистом CO_2 этот процесс очень медленен ⁵¹. Экспериментальные данные об эффективности этого процесса при наличии примесей отсутствуют, за исключением случая столкновений с молекулами $\mathrm{H}_2\mathrm{O}_1$, исследованного Виттеманом II_1 , II_2 .

б) Влияние H₂O на скорость релаксации нижнего лазерного уровня

Как уже указывалось выше (см. § 3). Виттеману удалось достигнуть повышения вдвое мощности отпаянного ОКГ на $CO_2 + N_2$ путем добавления паров воды. При рассмотрении работы ОКГ на $CO_2 + N_2$ он, так же как и Пател, считает, что заселенность верхнего дазерного уровия 00°1 CO₂ осуществляется за счет резонансной передачи энергии от колебательно-возбужденного азота. Однако он рассматривает и процесс разрушения нижнего лазерного уровня 1000 СО2, принимая в качестве главного процесса термическую релаксацию. Он считает, что заселенность уровня $10^{00}~{
m CO_2}$ уменьшается в результате двухступенчатого процесса 63. Вначале, во время молекулярных столкновений, происходит передача энергии симметричного колебания у деформационному типу колебаний с основной частотой $v_2 = 667 \ cm^{-1}$. Вероятность этого процесса сравнительно велика, так как квант деформационного колебания v₂ приблизительно равен половине кванта v₁. Поэтому при столкновении двух молекул CO_2 , одна из которых находится в состоянии 1000, образуется либо две молекулы в состоянии 01^{10} , либо одна в состоянии 02^{00} . После этого происходит термическая релаксация деформационного типа колебаний и энергия деформационного колебания превращается в энергию поступательного движения.

Последний процесс относительно медлепен и определяет скорость дезактивации уровня 10°0. Согласно данным о времени релаксации, полученным с помощью метода ударных труб, необходимо около $5 \cdot 10^4$ соуда-

рений для перехода молекулы CO_2 из состояния 10^{00} в основное 61 . Это означает, что эффективное сечение указанного процесса порядка 10^{-20} см². Согласно Виттеману, время релаксации уровня 10^{00} и ограничивает мощность, которая может быть получена от $OK\Gamma$ на CO_2 – N_2 .

Оказывается, что скорость процесса разрушения уровня 1000 может быть значительно повышена за счет добавления небольшого количества паров воды ¹¹. Наиболее низкая частота колебаний молекулы Н₂О, соответствующая колебанию угла между двумя связями ОН, равна 1596 $\emph{cm}^{-1}.$ В пределах $kT_{f 0}$ энергия этого колебания близка к энергии симметричного колебания СО2. Оказывается, необходимо всего несколько столкновений. чтобы молекула СО2 в состоянии 1000 передала свою энергию молекуле H₂O. Релаксация же колебательной энергии H₂O происходит очень быстро. Ее колебательная энергия превращается в энергию поступательного движения при столкновениях с другими молекулами воды, благодаря большим силам притяжения, обусловленным диполь-дипольным взаимодействием молекул H₂O. Было установлено ^{70, 71}, что для дезактивации колебательно-возбужденной молекулы воды необходимо всего около 10 столкновений с другими молекулами. Увеличением скорости разрушения нижнего лазерного уровня 1000 Виттеман и объясняет повышение мощности ОК Γ на $\mathrm{CO}_2 + \mathrm{N}_2$ вдвое. Таково качественное объяснение наблюденного им эффекта. Свои соображения он подкрепил и теорегическими расчетами.

Термализация колебательных уровней CO_2 происходит гораздо быстрее, чем переход колебательной энергии к поступательным степеням свободы, потому что первый процесс происходит во время резонансных процессов без обмена энергией с поступательным движением. Это означает, что мы можем описывать распределение молекул по колебательным уровням колебательной температурой T. Если пары воды отсутствуют, то скорость релаксации энергии E нижнего лазерного уровня всех молекул CO_2 определяется уравнением $\mathrm{^{65}}$

$$\frac{dE}{dt} = -\frac{p_0}{\tau_{44}} \{ E(T) - E(T_0) \}, \tag{1}$$

где τ_{11} — время релаксации CO_2 , равное $3\cdot 10^{-3}$ сек при температуре 330° К и при давлении 1 тор, p_0 — давление CO_2 в торах, E (T) и E (T_0) — истинная колебательная энергия молекул CO_2 , находящихся в единице объема, и, соответственно, ее значение, когда имеет место равновесие с поступательными степенями свободы.

Можно показать 11 , что при добавлении паров воды с парциальным давлением p_1 , время релаксации которой равно τ_{22} , уравнение релаксации энергии нижнего лазерного уровня CO_2 будет иметь вид

$$\frac{dE}{dt} = -p_0 \left\{ \frac{1}{\tau_{11}} \div \frac{1}{\tau_{22}} \left(\frac{p_1}{p_0} \right)^2 \right\} \left\{ E(T) - E(T_0) \right\}. \tag{2}$$

 $m M_3$ (2) следует, что время релаксации энергии нижнего лазерного уровня в смеси $m CO_2 + H_2O$ определяется соотношением

$$\frac{1}{\tau} = \frac{1}{\tau_{11}} + \frac{1}{\tau_{22}} \left(\frac{p_1}{p_0}\right)^2 . \tag{3}$$

Анализируя результаты изучения зависимости мощности ОКГ на $\mathrm{CO}_2+\mathrm{N}_2$ от парциального давления $\mathrm{H}_2\mathrm{O}$ (см. рис. 9), Виттеман заметил, что мощность начинает возрастать при давлениях $\mathrm{H}_2\mathrm{O}$, больших 0,01 *тор*. Это означает, что скорости процессов разрушения нижнего лазерного уровня CO_2 за счет столкновений с CO_2 и $\mathrm{H}_2\mathrm{O}$ сравнимы. Следовательно, согласно (3), $\tau_{22}=10^{-4}$ τ_{11} и при давлении 1 *тор* CO_2 $\tau_{22}=3\cdot10^{-7}$ сек.

Этот результат находится в согласии с данными, полученными методом поглощения ультразвука 70 и методом ударных труб 71 . При давлениях $\rm H_2O$, больших $\rm 0.01~mop$, время релаксации τ может быть найдено при помощи простого соотношения

$$\tau = 10^{-4} \tau_{11} p_1^{-2}. \tag{4}$$

Таким образом, Виттеман показал, что при добавлении паров H_2O действительно происходит значительное увеличение скорости разрушения нижнего лазерного уровня, что и объясняет наблюдаемое увеличение мощности.

в) Определение разности заселенностей лазерных уровней ОКГ на CO₂ + N₂ + H₂O

Разность заселенностей лазерных уровней ОКГ на $\mathrm{CO_2} + \mathrm{N_2} + \mathrm{H_2O}$ была определена Виттеманом в двух режимах: без генерации и при генерации с наибольшей мощностью, равной 20 ет. Для определения разности заселенностей лазерных уровней ОКГ угол падения β (см. рис. 8) германиевой пластинки, развязывающей мощность, уменьшался до пороговых условий генерации. Для вращательного перехода P_{22} полосы $00^{04}-10^{00}$ он был найден равным 25° . Практически все потери в резонансной полости определялись развязывающей пластинкой.

Время, характеризующее уход излучения из резонатора в отсутствие среды, определяется соотношением

$$\frac{dI}{dt} = \frac{I}{\tau_{ch}}$$
,

где постоянная времени τ_{Φ} равна L/cR; L — длина резонатора, R — коэффициент отражения системы зеркал, включая и развязывающую пластинку. При пороговых условиях было найдено $\tau_{\Phi}=1.4\cdot 10^{-8}$. Далее, по данным измерения интегрального показателя поглощения полосы $00^{0}1-10^{0}0$ при минимальном давлении $100\ mop^{34}$ было рассчитано время жизни, определяемое спонтанным излучательным переходом. Оно оказалось равным $4.8\ cek$. Это значение позволило рассчитать вероятность вращательного перехода P-ветви полосы $00^{0}1-10^{0}0$:

$$A(0001, J \rightarrow 1000, J + 1) = 10^{-1} ce\kappa^{-1}$$

Плотность инверсии вращательных уровней при пороговых условиях равна 72 :

$$n_2^J - n_1^{J+1} \frac{g_2}{g_1} = \frac{8\pi v^2}{Ac^2 g(v_0) \tau_{\Phi}}.$$
 (5)

Принимая, что форма контура определяется эффектом Допплера, в центре линии получено значение g (v_0) = $2.5 \cdot 10^{-8}$ $ce\kappa$ *). При подстановке найденных значений величин в (5), была определена инверсия вращательных уровней $J=21,00^{\circ}1$ и $J=22,10^{\circ}0$:

$$n_2^J - n_1^{J+1} = 2, 1 \cdot 10^{13} \text{ cm}^{-3}.$$

При расчете было принято, что отношение статистических весов уровней равно 1.

^{*)} Функция g (v), описывающая форму линии, нормирована таким образом. Что $\int\limits_0^\infty g$ (v) $d\mathbf{v}=1$. Если контур линий допплеровский, то g (v₀) = 2 (π ln 2)^{1/2}/ $\pi\Delta\mathbf{v}$, где $\Delta\mathbf{v}$ — ширина линии.

⁶ УФН, т. 91, вып. 3

Ввиду того, что релаксация вращательных уровней происходит гораздо быстрее, чем колебательных, можно было принять, что заселенность вращательных уровней определяется законом Больцмана с газовой тем пературой. Это позволило рассчитать (N_2-N_4) — инверсную заселенность колебательных уровней $00^{0}1$ и $01^{0}0$ с помощью приближенного соотношения

$$n_2^J - n_1^{J+1} = 2(N_2 - N_1) \frac{hcB}{kT} (2J+1) \exp\left\{-\frac{hcB}{kT} J(J+1)\right\}.$$
 (6)

Подставляя в (6) значение $n_2^J-n_1^{J+1}$, получаем $N_2-N_1=6\cdot 10^{14}~cm^{-3}$.

Аналогичным образом, при коэффициенте отражения R=0.1, соолветствующем наибольшей мощности (20 em) ОКГ на ${\rm CO_2+N_2+H_2O}$. была найдена вращательная инверсия с помощью формулы $^{11,~72}$

$$(n_2^J - n_1^{J+1})_{\text{rehep}} = \frac{8\pi v^2 R}{2c^2 g (v_0) LA},$$
 (7)

равная $2,2\cdot 10^{12}~cm^{-3}$, и колебательная инверсия $(N_2-N_1)_{\rm renep}=6>\times 10^{13}~cm^{-3}$.

Таким образом, Виттеману впервые удалось определить плотность инверсии, как колебательную, так и вращательную, для ОКГ, работающего на CO_2 . Как видно, она на несколько порядков больше плотности инверсии всех других газовых ОКГ.

г) Процессы, ограничивающие мощность излучения

Скорость создания заселенности (в секунду) нижнего лазерного уровня можно рассчитать на основании данных о выходной мощности, зная поперечное сечение пучка, которое в опытах Виттемана было равно $0.35 \, cm^2$. При наибольших мощностях скорость создания излучения I' в единице объема была равна $1.3 \cdot 10^6 \, spe\cdot cm^{-3} \, ce\kappa^{-1}$ без водяных паров и $3 \cdot 10^6 \, spe\cdot cm^{-3} \, ce\kappa^{-1}$ при добавлении $0.2 \, mop \, H_2O$.

Для того чтобы рассчитать скорость релаксации энергии нижнего лазерного уровня, заметим, что скорость увеличения его заселенности равна

$$\frac{dN_1}{dt} = \frac{I'}{h \left(\mathbf{v_3} - \mathbf{v_1} \right)} \ .$$

При стационарных условиях скорость релаксации нижнего уровня должна быть равна этой величине (если пренебречь распадом за счет термической релаксации верхнего уровня). Тогда скорость релаксации энергии dE/dt будет равна $2.1\cdot 10^6$ эрг \cdot см $^{-3}$ сек $^{-1}$ в отсутствие и $5\cdot 10^6$ эрг \cdot см $^{-3}$ сек $^{-1}$ в присутствии паров воды.

Воспользовавшись уравнением (1) и подставив в него значение τ_{11} , $E\left(T_{0}\right)=E\left(330^{\circ}\,\mathrm{K}\right)=13$ эрг·см⁻³, найдем $E\left(T\right)=6000$ эрг·см⁻³: этому значению $E\left(T\right)$ соответствует колебательная температура $T=2300^{\circ}\,\mathrm{K}$.

Таким образом, колебательная температура нижнего лазерного уровня гораздо выше газовой, поэтому при отсутствии паров воды скорость дезактивации нижнего лазерного уровня ограничивает мощность лазерного излучения.

При добавлении паров воды $(0,2 \ mop)$ эффективное время релаксании, согласно (4), будет равно $7 \cdot 10^{-6} \ ce\kappa$. При этом расчет по формуле

(2) показывает, что E (T) примерно равно E (T_0). Иными словами, колебательная температура T равна температуре газа T_0 . Это означает, что релаксация нижнего лазерного уровня является достаточно быстрой и что, в согласии с экспериментальными наблюдениями (см. рис. 9), дальнейшая добавка водяного пара уже не должна приводить к ее новому ускорению.

Определив колебательные температуры нижнего лазерного уровня, можно легко рассчитать плотность заселенности этого уровня. При добавлении паров воды она равна $N_1=9\cdot 10^{13}~cm^{-3}$. Воспользовавшись найденными выше инверсиями, мы найдем, что плотность заселенности верхнего лазерного уровня $N_2=7\cdot 10^{14}~cm^{-3}$ в отсутствие генерации и $N_2=-1.5\cdot 10^{14}~cm^{-3}$ в присутствии генерации.

Таким образом, видно, что в присутствии водяных паров на верхнем лазерном уровне не работающего ОКГ находится 2% всех молекул. а когда ОКГ работает — 0.5%.

Аналогично, в отсутствие паров воды можно было определить, что $25\,\%$ всех молекул возбуждены на верхний лазерный уровень, если ОКГ находится при пороговых условиях.

Подчеркием, что при всех рассуждениях Виттеман предполагал, что скорость заселения верхнего лазерного уровня не зависит от добавки воды и от того, при какой мощности ОКГ ведутся измерения. На самом же деле не исключена возможность изменения скорости заселения верхнего лазерного уровня ввиду изменения режима работы электрического разряда.

Несмотря на то, что в некоторых пунктах рассуждения Виттемана могут быть подвергнуты критике, его работа уникальна с точки зрения как результатов, так и интерпретации. Поэтому она заслуживает большого внимания. Постановка дальнейших исследований ОКГ на СО₂ должна безусловно основываться на его результатах и интерпретации.

д) Релаксация лазерной системы

При рассмотрении релаксационных процессов, протекающих в ОКГ на СО₂, необходимо, наряду с колебательной, учитывать и вращательную релаксацию *). Известно, что характерное время вращательной релаксации при обычных температурах значительно меньше времени колебательной релаксации. Поэтому распределение по вращательным уровням, по крайней мере при пороговых условиях в ОКГ, можно считать больцмановским.

Анализ коэффициента усиления на определенной колебательновращательной линии показывает, что, в отличие от R-ветви, переходы на P-ветви могут давать оптическое усиление даже тогда, когда инверсная заселенность колебательных уровней отсутствует 5 . Таким образом, условия для возникновения генерации на P-ветви более благоприятны, чем на R-ветви, что и находит свое выражение в экспериментально более простой возможности наблюдения P-ветви.

Следует иметь в виду следующее обстоятельство. Как указывалось выше, в ОКГ большой мощности все излучение, как правило, сосредоточено в небольшом числе линий. Этот факт является следствием того, что значительное число переходов, имея необходимое для генерации усиление, все-таки не может генерировать из-за сильных эффектов конкуренции, возникающих вследствие очень большого времени жизни ($\sim 10^{-3}~ce\kappa$)

^{*)} Более подробное рассмотрение вращательной релаксации и ее значения для работы ${\rm OKF}$ на ${\rm CO}_2$ изложено в обзоре B. H. Тычинского, опубликованном в этом же выпуске ${\rm V}\Phi{\rm H}$.

уровня $00^{\circ}1$ и очень малого времени термализации ($\sim 10^{-6}$ — 10^{-7} сек), необходимого для достижения больцмановского равновесия по вращательным уровням 73 .

Экспериментальные данные о временах релаксации лазерных систем являются весьма существенными как для понимания механизма генерации, так и для практических целей, позволяя производить оценки целесообразности использования тех или иных газовых смесей. Джаваном и его сотрудниками ^{17, 28} для определения времен колебательной релаксации газовых смесей, применяемых в ОКГ на СО₂, использована техника модулированной добротности. Данные, полученные Джаваном и его сотрудниками, представляют собой время релаксации всей лазерной системы и интересны, в частности, тем, что при их сравнении с временами релаксации отдельных колебательных уровней, известными из других работ ^{54, 58}, можно увидеть, какие из них ограничивают величину инверсной заселенности лазерных уровней.

Импульс модулированной добротности приводит к такому быстрому уменьшению инверсной заселенности лазерных уровней, что в течение времени его действия термализация вращательных уровней не происходит. Это было установлено анализом спектрального распределения по различным вращательным уровням. Оказалось, что различные вращательные переходы, в отличие от непрерывного режима, генерируют независимо, т. е. термализация не успевает наступать.

Однако при высоких давлениях термализация происходит даже во время импульса модулированной добротности, что приводит к ситуации, идентичной случаю непрерывной генерации: к уменьшению числа генерируемых линий.

Сразу же вслед за импульсом модулированной добротности разность заседенностей восстанавливается до стационарного значения, которое имеет место при отсутствии генерации. Время установления этого стационарного значения определяется главным образом временем жизни колебательных уровней. Если частота вращения зеркала будет не очень большой, так что интервалы времени между импульсами модулированной добротности будут больше, чем времена жизни уровней, то энергия в каждом импульсе не будет зависеть от частоты вращения зеркала. Для скоростей же повторения импульсов модулированной добротности, сравнимых или меньших времен жизни лазерных уровней, энергия в каждом импульсе будет уменьшаться. В опытах Джавана и его сотрудников максимальная частота вращения зеркала была равна 500 об/сек, т. е. минимальный интервал между импульсами был 2 мсек. При этих условиях интенсивность импульсов модулированной добротности не зависела от частоты вращения. Когда же с помощью второго неподвижного зеркала, расположенного под углом около 18° к оси ОКГ, были получены дополнительные импульсы генерации, то оказалось, что если интервал времени между основным и дополнительным импульсами не превосходил 1 мсек, то интенсивность генерации в дополнительном импульсе была меньше, чем в основном.

Было установлено, что время релаксации колебательных уровней, включенных в лазерное действие, равно 0,3 мсек. Удивительным оказалось то, что время релаксации в некоторых пределах изменения парциальных давлений не зависит от их значений, так что в работе ²⁸ даже не указан состав смеси. По-видимому, указанное значение следует рассматривать как некое типичное время для обычно применяемых смесей. Высказано предположение, что оно определяется неупругими электронными столкновениями. Однако это предположение нам кажется маловероятным.

Синхронизация модуляции добротности с импульсным питанием разрядной трубки (так что включение добротности происходило в любое время в течение импульса и после импульса) позволила установить, что генерация возникала и через значительное время после импульса тока, т. е. инверсная заселенность сохранялась и после окончания импульса тока, в послесвечении разряда, причем это время было значительно больше, чем длительность генерации в послесвечении при стационарной установке зеркал и при питании трубки аналогичными импульсами тока. Это показывает, что при отсутствии генерации свободный распад возбужденных уровней CO_2 идет гораздо медленнее, чем распад при непрерывной генерации. Измеряя высоту импульсов модулированной добротности как функцию времени, отсчитываемого от начала импульса тока, удалось изучить время релаксации ОКГ в зависимости от парциальных давлений CO_2 , N_2 и He . Было найдено, что при давлениях порядка 1 тор N_2 и $\sim 10^{-3}$ тор CO_2 это время равно нескольким миллисекундам.

Как видно из изложенного, в работе ²⁸ получен ряд весьма важных результатов. Заслуживающим особого внимания оказывается тот факт, что время релаксации лазерной системы в целом, определенное в этой работе, оказывается совпадающим по порядку величины с временем релаксации нижнего лазерного уровня ⁶⁵. Таким образом, в согласии с выводами Виттемана (см. выше), скорость дезактивации нижнего лазерного уровня в этом случае ограничивает мощность.

Метод модулированной добротности, правда, в ином варианте, чем в опытах Джавана, был применен для изучения времени релаксации лазерной системы $CO_2 - N_2$, также и Бриджесом 29. Согласно интерпретации Бриджеса в его эксперименте получено время жизни нижнего дазерного уровня, равное $3 \cdot 10^{-5}$ сек (см. выше.) Такой же порядок величины имеет время релаксации уровня 10°0 для перехода на уровень 02°0 и 11°0 в случае давления CO₂ 4 mop ⁵⁴. В опытах Бриджеса было именно такое парциальное давление СО2. Давление находящегося в газоразрядной трубке азота составляло также 4 тора. Столкновения с молекулами N2 могут только ускорить релаксацию уровня 1000. Время же релаксации уровня 0110 СО2 в указанной смеси может быть рассчитано точно. Оказывается, что оно равно также ~10-5 сек. Таким образом, в экспериментах Бриджеса получено некоторое характерное для лазерной системы время релаксации, определяемое временами релаксации уровней 1000 и 1010. В случае состава смеси, взятого Бриджесом, времена релаксации этих уровней оказались одинаковыми. При других составах смеси, когда время релаксации уровня 01^{10} будет большим, именно оно будет определять время релаксации дазерной системы. Этим, по-видимому, и объясняются различия в экспериментальных данных о временах релаксации дазерных систем (ср. с 17,28 , где получено время $3 \cdot 10^{-4}$ сек, что совпадает с выводами Вилтемана, как указано несколько выше).

До сих пор мы не касались вопроса о колебательной релаксации верхнего лазерного уровня $06^{\circ}1$ CO₂. Опыты Джавана с сотрудниками ⁴⁹ при использовании техники модулированной добротности позволили определить эффективное сечение столкновения молекулы CO₂, находящейся в состоянии $06^{\circ}1$, с молекулой CO₂ в основном состоянии $06^{\circ}0$, приводящего к разрушению уровня $06^{\circ}1$. Оно оказалось развым $(3,3\pm0,3)\cdot 10^{-19}$ см². При давлении CO₂, равном 1 тор и температуре 300° K, этому соответствует время релаксации верхнего уровня $2,6\cdot 10^{-3}$ сек.

Это значение времени релаксации отличается всего в два раза от значения 5,5·10⁻³ сек, которое может быть получено на основании экспериментальных данных Слободской ⁸¹ (см., например, ⁵¹). Сравнение же с теоретическими данными Герпфельда ⁵⁴ результатов Джавана и др.

приводит к менее удовлетворительному согласию. В самом деле, наиболее эффективными процессами, приводящими к разрушению уровня $00^{\circ}1$, являются переход в состояние $(11^{\circ}0)$ или в состояние (030) с переходом избытка колебательной энергии в кинетическую, причем сечение столкновений этих процессов соответственно в $1.93 \cdot 10^5$ и $3.92 \cdot 10^5$ раз меньше газокинетического. Учет этих процессов приводит к времени релаксации $1.1 \cdot 10^{-2}$ сек, т. е. к значению, в четыре раза большему того, которое получено Джаваном.

В заключение параграфа отметим, что применение изящной и многообещающей методики Джавана для определения времен релаксации лазерных систем на CO_2 только начато. В цитированных выше работах уже получены ценные результаты. Однако интерпретации полученных результатов, именно попытки связать их с релаксацией определенных уровней, включенных в действие ОКГ, не вполне однозначны и требуют дополнительных опытов. Кроме того, необходимо подчеркнуть, что для однозначной интерпретации необходимо знать состав смеси, не только исходной, но и той, которая возникает во время газового разряда. Между тем, в большинстве случаев опыты ведутся с недостаточно чистыми газами неизвестного состава. Различные же примеси, как уже упоминалось выше, и вновь образующиеся газы (CO, NO, H₂O) могут существенным образом изменить время релаксации. Эти обстоятельства пеобходимо иметь в виду при постановке дальнейщих экспериментов.

§ 10. НЕКОТОРЫЕ ПРИМЕНЕНИЯ ОКГ НА CO₂

Первым реализованным применением ОКГ на СО₂ явилось исследование с его помощью нелинейных оптических явлений в области 10,6 мк, области, в которой ранее исследование нелинейных явлений было невозможно из-за отсутствия подходящего накачивающего источника, а также из-за отсутствия сведений об эффективности и фазовой согласованности оптически нелинейных материалов, прозрачных в этой области ^{73, 74}. Указанное исследование представляет специальный интерес, поскольку именно в инфракрасной области спектра лежат резонансные колебательные частоты молекул, что говорит о возможности получения очень сильных воздействий на вещество при использовании мощных ОКГ инфракрасного излучения ⁷⁵.

С помощью ОКГ на CO_2 , работающего в режимах непрерывном и с модулированной добротностью, Пателом ^{73, 74} были получены вторые гармоники генерации (ВГГ) на большом числе кристаллов (Те, Se, InAs, GaAs, ZnS, CdTe, CdS, CdSe). Им было установлено, что наиболее подходящим материалом для получения ВГГ является теллур, обладающий наибольшим (по сравнению с любыми другими материалами, о которых сообщалось до сих пор) коэффициентом нелинейности. Монокристалл Те имеет большой показатель преломления. Он также обладает большим положительным двойным лучепреломлением (рис. 18), которое допускает легкое фазовое согласование между $10,5915\,\mathrm{m}\kappa$ и второй гармоникой волны при $5,2928\,\mathrm{m}\kappa$. Фазовое согласование в Те имеет место в очень широкой области длин волн. При непрерывной мощности накачки $0,17\,\mathrm{sm}$ получена мощность ВГГ $10\,\mathrm{m}\kappa\mathrm{sm}$. На рис. $19\,\mathrm{n}$ показана зависимость мощности ВГГ от отклонения от угла фазового согласования $\theta_m=14^\circ30'$.

При повторяющейся модуляции добротности ОКГ на CO₂ получена мощность ВГГ несколько ватт в импульсе. Пателом ⁷³ высказано предположение о возможности создания непрерывно работающего перестраиваемого генератора в области от 15 до 25 мк при использовании ОКГ на CO₂ в качестве накачивающего источника и кристалла Те в качестве нелиней-

пого материала. Порог параметрической генерации в таком генераторе вследствие очень большого нелинейного коэффициента и фазовой согласованности может быть достигнут при очень умеренных мощностях порядка 20-100~мвm.

Второй областью применения ОКГ на CO_2 будет, конечно, связь. Ввиду гого, что длина волны лазера равна 10,6 мк, его излучение находится в окне прозрачности атмосферы. Предварительные оценки ослабления излучения ОКГ на CO_2 показывают, что оно меньше 3 $\partial 6$ при прохождении атмосферы Земли в вертикальном направлении 13 . Однако немедленное использование ОКГ на CO_2 для связи затруднено вследствие недостаточного уровня развития техники детектирования и модуляции в области 10,6 мк.

Следующей областью применения ОКГ на СО2 будет резка и сварка

материалов. Очень перспективным представляется использование ОКГ в медицине. Накопец, возможны и различные

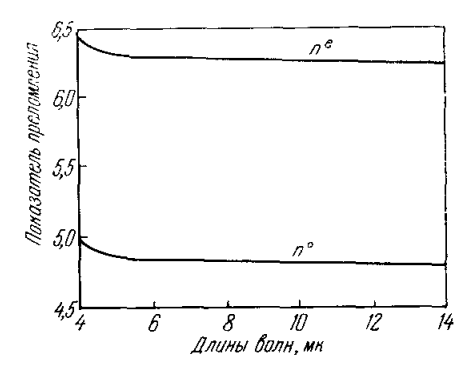


Рис. 18. Зависимость показателя преломления Те от длины волны для обыкновенного и необыкновенного лучей.

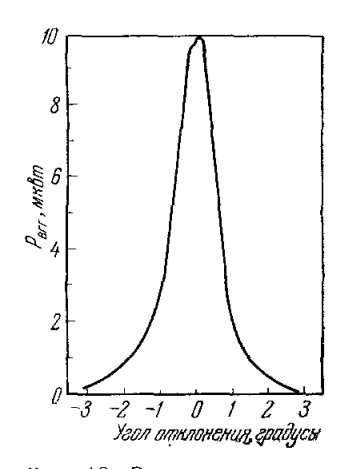


Рис. 19. Зависимость мощности второй гармоники генерации от отклонения от угла θ_m .

военные применения. В частности, при достижении мощностей порядка нескольких киловатт в непрерывном режиме возможно поражение целей с помощью лазерного луча.

§ 11. ЗАКЛЮЧЕНИЕ

Исследование физических процессов в ОКГ на CO_2 , так же как и изучение его возможностей для различных применений, находится в начальной стадии. Среди наименее изученных, хотя и играющих, по-видимому, немаловажную роль в работе ОКГ, являются процессы типа химических реакций, включая сюда диссоциацию и рекомбинацию различных радикалов, возникающих в газовом разряде. Известно, например, что имеется большое число химических реакций, которые могут производить двухатомные молекулы в колебательно-возбужденных состояниях 76 . Ряд сведений, относящихся к этому вопросу, содержится в 77 .

Недостаточно изученным остается пока и факт влияния температуры на мощность ОКГ. В то же время имеются предложения по созданию инверсной заселенности в CO_2 при быстром охлаждении газа ⁷⁸ и при адиабатическом расширении газовой смеси $\mathrm{CO}_2 - \mathrm{N}_2$ ⁷⁹.

Хотя ОКГ на ${\rm CO}_2$ не нашли еще достаточно широкого применения, уже сейчас можно сказать, что этот тип ОКГ имеет больше потенциальных возможностей для использования, чем любой другой, построенный до сих

пор лазер. Большие мощности и к. п. д., достигаемые в отпаянных непрерывно действующих ОКГ на СО2, вместе с экспериментально обнаруженной тенденцией уменьшения числа генерируемых линий с повышением мощности, говорят о принципиальной возможности осуществления ОКГ небольших размеров, дающего при значительных к. п. д. мощное непрерывное излучение на единственной частоте.

Физический институт им. П. Н. Лебедева АН СССР

ЦИТИРОВАННАЯ ЛИТЕРАТУРА

- 1. A. Javan, W. R. Bennett, Jr., D. R. Herriott, Phys. Rev. Letts 6, 106 (1961).
- A. L. S c h a w l o w, Sci. Amer. 209, 34 (1963); Contemp. Phys. 5, 81 (1963). (Имеется русский перевод: УФН 81, 745 (1963); 84, 303 (1964).
 W. R. B e n n e t t, Jr., в сб. «Optical Masers» (Appl. Opt. Suppl. 1), 1962, стр. 24.
- (Имеется русский перевод: УФН 81, 119 (1963).)
- 4. W. R. Bennett, Jr., B co. «Chemical Lasers» (Appl. Opt. Suppl. 2), 1965.
- crp. 3.
 5. C. K. N. Patel, W. L. Faust, R. A. Mc Farlane, Bull. Amer. Phys. Soc. 9, 500 (1964); C. K. N. P a t e l, Phys. Rev. Letts 12, 588 (1964); Phys. Rev. 136A, 1187 (1964).
- F. Legay, N. Legay-Sommaire, Compt. Rend. 257, 2644 (1963); 259, 99 (1964); N. Legay-Sommaire, L. Henry, F. Legay, Compt. Rend. 260, 3339 (1965); P. Barchewitz et al., Compt. Rend. 260, 3581, 5491 (1965).

- 3339 (1965); P. B a r c h e w i t z et al., Compt. Rend. 260, 3581, 5491 (1965).
 7. C. K. N. P a t e l, Phys. Rev. Letts 13, 617 (1964).
 8. C. K. N. P a t e l, Appl. Phys. Letts 7, 15 (1965); в сб. «Physics of Quantum Electronics», New York, McGraw-Hill Book Company, 1966, стр. 643.
 9. G. M o e l l e r, J. D. R i g d e n, Appl. Phys. Letts 7, 274 (1965).
 10. C. K. N. P a t e l e t a l., Appl. Phys. Letts 7, 290 (1965).
 11. W. J. W i t t e m a n, Phys. Letts 18, 125 (1965); Philips Research Reports 21, 73 (1966); J. Appl. Phys. 37, 2919 (1966).
 12. T. J. B r i d g e s, C. K. N. P a t e l, Appl. Phys. Letts 7, 244 (1965).
 13. G. M o e l l e r, J. D. R i g d e n, IEEE J. Quant. Electron. QE-2 (N 4), стр. XXIV. докл. 4B-I (1966). (См. также: Appl. Phys. Letts 8, 69 (1966).)
 14. T. F. D e u t s c h, M. J. W e b e r, IEEE J. Quant. Electron. QE-2 (N 4), стр. XXIV, докл. 4B-2 (1966).
 15. Ch. F r a p a r d, IEEE J. Quant. Electron. QE-2 (N 4), стр. XXIV, докл. 4B-3 (1966).

- (1966). 16. W. J. Witteman, IEEE J. Quant. Electron. QE-2 (N 4), стр. XXV, докл. 4B-4 (1966).
- 17. C. Flynn, L. Hocker, N. Kovacs, C. K. Rhodes, IEEE J. Quant. Electron. QE-2 (N 4), стр. ХХУ, докл. 4В-5. (См. также: М. Коvacs, G. Flynn,
- A. Javan, Appl. Phys. Letts 8, 62 (1962).)

 18. H. Statz, C. L. Tang, G. F. Koster, IEEE J. Quant. Electron. QE-2 (N 4). стр. XXVI, докл. 4B-6 (1966).

 19. D. Rosenberger, Phys. Letts 21, 520 (1966).
- 20. Laser Focus 2, 12 (1966).

- J. A. Howe, Appl. Phys. Letts 7, 21 (1965).
 E. F. Barker, A. Adel, Phys. Rev. 44, 185 (1933).
 Ch. Frapard, Compt. Rend. 262, 1340 (1966).
 J. A. Howe, R. A. McFarlane, J. Mol. Spectr. 19, 224 (1966).
 B. Hartmann, B. Kleman, Canad. J. Phys. 44, 1609 (1966).
- 26. R. A. Mc Farlane, J. A. Howe, Appl. Phys. Letts 19, 208 (1965). 27. Ch. Frapard et al., Phys. Letts 20, 384 (1966).
- 28. G. Flynn, M. Kovacs, C. K. Rhodes, A. Javan, Appl. Phys. Letts 8, 63
- 29. T. J. Bridges, Appl. Phys. Letts 9, 174 (1966).
- 30. Г. Герцберг, Колебательные и вращательные спектры многоатомных молекул. М., ИЛ, 1949.
- 31. G. Amat, M. Pimbert, J. Mol. Spectr. 16, 278 (1965).
- 32. I. Wieder, G. B. McCurdy, Phys. Rev. Letts 16 (N 13), 565 (1966).
- 33. С. С. Пеннер, Количественная молекулярная спектроскопия и излучательная способность газов, М., ИЛ, 1963.

- 34. D. E. Burch, D. A. Grivnak, D. Williams, Appl. Optics 1, 759 (1962). 35. T. K. McCubbin, Jr., R. Darone, J. Sorrell, Appl. Phys. Letts 8, 118 (1966).
- 36. E. T. Gerry, D. A. Leonard, Appl. Phys. Letts 8, 227 (1966). 37. F. Kaufman, J. R. Kelso, J. Chem. Phys. 28, 510 (1958). 38. K. Dressler, J. Chem. Phys. 30, 1621 (1959).

- 39. J. E. Morgan, H. J. Shiff, Canad. J. Chem. 41, 903 (1963).
- 40. Н. Н. Соболев, В. В. Соковиков, Письма, ЖЭТФ 4, 303 (1966); 5, № 4. (1967).
- 41. G. J. Schulz, Phys. Rev. 116, 1141 (1959).

- G. J. Schulz, Phys. Rev. 125, 229 (1962).
 G. J. Schulz, Phys. Rev. 135, A988 (1964).
 J. D. Swift, Brit. J. Appl. Phys. 16, 837 (1965).

- 45. A. Herzenberg, F. Mandl, Proc. Roy. Soc. 270A, 48 (1962). 46. J. C. Chen, J. Chem. Phys. 36, 1407 (1962); 40, 3513 (1964); 41, 3513 (1964). 47. R. Haas, Z. Phys. 148, 177 (1957). 48. С. Браун, Элементарные процессы в плазме газового разряда, М., Госатомиздат, 1961.
- 49. L. O. Hocker, M. A. Kovacs, C. K. Rhodes, G. W. Flynn, A. Javan,
- Phys. Rev. Letts 17, 233 (1966).

 50. P. H. Dawson, A. W. Tickner, Bcc. «Comptes Rendus de la VI° Conference Internationale sur les Phenomenes d'Ionisation dans les Gas», vol. 2, Paris, С.І.Р.І.G.— S.Е.R.М.А., 1963, стр. 79. 51. А. Энгель, Ионизованные газы, М., Физматгиз, 1959. 52. В. А. Фабрикант, Труды ВЭИ, т. 41, 1940.

- 53. В. А. Фабрикант, ЖЭТФ 41, 524 (1961). 54. К. F. Herzfeld, Disc. Faraday Soc. N33, 22 (1962). 55. R. N. Schwartz, Z. I. Slawsky, K. F. Herzfeld, J. Chem. Phys. 20, 1591 (1952).
- 56. R. N. Schwartz, K. F. Herzfeld, J. Chem. Phys. 22, 767 (1954).
 57. K. F. Herzfeld, T. A. Litovitz, Absorption and Dispersion of Ultrasonic Waves, Acad. Press, 1959.
- 58. В. Н. Кондратьев, Кинетика химических газовых реакций, М., Изд-во АН CCCP, 1958.
- 59. Г. Месси, Е. Бархоп, Электронные и ионные столкновения, М., ИЛ, 1958.
- 60. T. L. Cottrell, J. C. McCoubrey, Molecular Energy Transfer in Gases, London, Butterworths, 1961.
- Дж. Ламберт, в сб. «Атомные и молекулярные процессы» под ред. Д. Бейтса, М., Мир, 1964, стр. 679.
- 62. Е. В. Ступоченко, С. А. Лосев, А. И. Осипов, Релаксационные пропессы в ударных волнах, М., «Наука», 1965. 63. W. J. Witteman, J. Chem. Phys. 35, 1 (1961). 64. W. J. Witteman, J. Chem. Phys. 37, 655 (1962). 65. W. J. Witteman, Philips Res. Rep. Suppl. N2, 1, 1963.

- 66. R. Marriott, Proc. Phys. Soc. 84, 877 (1964). 67. R. Marriott, Proc. Phys. Soc. 86, 1041 (1965).

- 68. R. Marriott, Proc. Phys. Soc. 88, 83 (1966).
 69. J. W. L. Lewis, F. D. Shields, Bull. Amer. Phys. Soc. 11, 532 (1966).
 70. K. Fujii, R. B. Lindsay, K. Urushihara, J. Acoust. Soc. Amer. 35,

- 961 (1963).
 71. P. W. Huber, A. Kantrowitz, J. Chem. Phys. 15, 275 (1947).
 72. A. Yariv, J. P. Gordon, Proc. IEEE 51, 4 (1963).
 73. C. K. N. Patel, IEEE J. Quant. Electron QE-2 (N 4), стр. XVI, докл. 2A-2 (1966).
- 74. C. K. N. Patel, Phys. Rev. Letts 15, 1027 (1965); 16, 613 (1966).
- 75. С. А. Ахманов, Р. В. Хохлов, УФН 88, 439 (1966). 76. N. Basco, R. G. W. Norrish, Canad. J. Chem. 38, 1769 (1960).
- 77. Chemical Lasers (Appl. Opt. Suppl. 2), 1965.
- 78. K. Shi moda, в сб. «Physics of Quantum Electronics», New York, McGraw-Hill Воок Сомрану, 1966, стр. 635.
 79. В. К. Конюхов, А. М. Прохоров, Письма, ЖЭТФ 3, 436 (1966).
 80. М. J. W. Воппез, J. В. Наsted, Phys. Letts 21, 526 (1966).

- 81. П. В. Слободская, Изв. АН СССР, сер. физ. 12, 656 (1948).

Примечание при корректуре. 1. Недавно появилась работа Статца и др. (H. Statz, С. L. Tang, G. F. Coster, J. Appl. Phys. 37, 4278 (1966)), тезисы которой были опубликованы ранее 18. В ней измерены и рассчитаны вероятности радиационных

переходов и времена жизни уровней, имеющих отношение к работе ОКГ на СО $_2$. Наряду с данными Герцфельда 54 о временах релаксации результаты работы Статца и др. совершенно необходимы при нахождении решения системы кинетических уравнений для заселенностей колебательных уровней молекулы CO₂.

2. Если релаксация нижнего уровня деформационного колебания молекулы CO₂

хорошо изучена, то сведения о временах релаксации лазерных уровней немногочисленжорошо паучена, то сведения о временах резаксации назерных уровней немногочисленый и часто противоречивы. В этой связи отметим новую работу Коттрела и др. (Т. L. C o t t r e l l , I. M. M a c f a r l a n e, A. W. R e a d, A. H. Y o u n g, Trans. Faraday Soc. 62, 2655 (1966), согласно которой при давлении 1 тор время релаксации уровня 00°1 СО 2 равно 5,3·10⁻³ сек, что находится в хорошем согласии с измерениями Джавана и др. 4°.

3. В § 10 говорилось о том, что издучение ОКГ на СО 2 находится в окне про-

зрачности атмосферы. Действительно, используя эффективные сечения уширяющих столкновений, полученные в работе ³⁶, и учитывая, что в атмосфере Земли содержится

 $0.03\%~{
m CO}_2$, легко убодиться в том, что форма линий будет лоренцовская ($a=rac{\Delta \lambda_L}{\Delta \lambda_D} \approx 10$)

и показатель поглощения в центре линии $\alpha \approx 10^{-6}~cm^{-1}$ при 300° К. Это значение α согласуется с выводами работы 13 (ослабление луча меньше $3~\partial\delta$). Тем не менее не следует исключать других возможных причин поглощения или рассеяния лазерного излучения. Поэтому окончательный ответ на вопрос о величине ослабления лазерного луча в атмосфере Земли может дать только прямой эксперимент.